



**Politecnico  
di Torino**

Department  
of Electronics and  
Telecommunications

# Teoria dei Segnali

---

## Sistemi Lineari

Anno accademico 2024-2025

Ultimo aggiornamento: Settembre 2024

# Legami con le lezioni precedenti

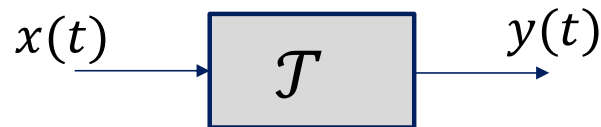
## Proprietà della trasformata di Fourier

Linearità	$\mathcal{F}\{a_1x_1(t) + a_2x_2(t)\} = a_1\mathcal{F}\{x_1(t)\} + a_2\mathcal{F}\{x_2(t)\}$
Anticipo o ritardo	$\mathcal{F}\{x(t - \theta)\} = \mathcal{F}\{x(t)\} e^{-j\theta\omega}$
Modulazione e traslazione	$\mathcal{F}\{x(t)e^{-j2\pi f_0 t}\} = X(f - f_0)$
Scalamiento	$\mathcal{F}\{x(Kt)\} = \frac{1}{ K } X\left(\frac{f}{K}\right)$
Relazioni di parità per $x(t)$ reale	$\begin{cases} \mathcal{R}\{X(f)\} \text{ e }  X(f)  & \text{sono pari} \\ \mathcal{I}\{X(f)\} \text{ e } \arg\{X(f)\} & \text{sono dispari} \end{cases}$
Convoluzione e prodotto	$x(t) * y(t) \Leftrightarrow X(f) \cdot Y(f)$
Dualità	$\mathcal{F}\{X(f)\} = x(-t)$

Fondamentale nell'ambito  
dei sistemi lineari

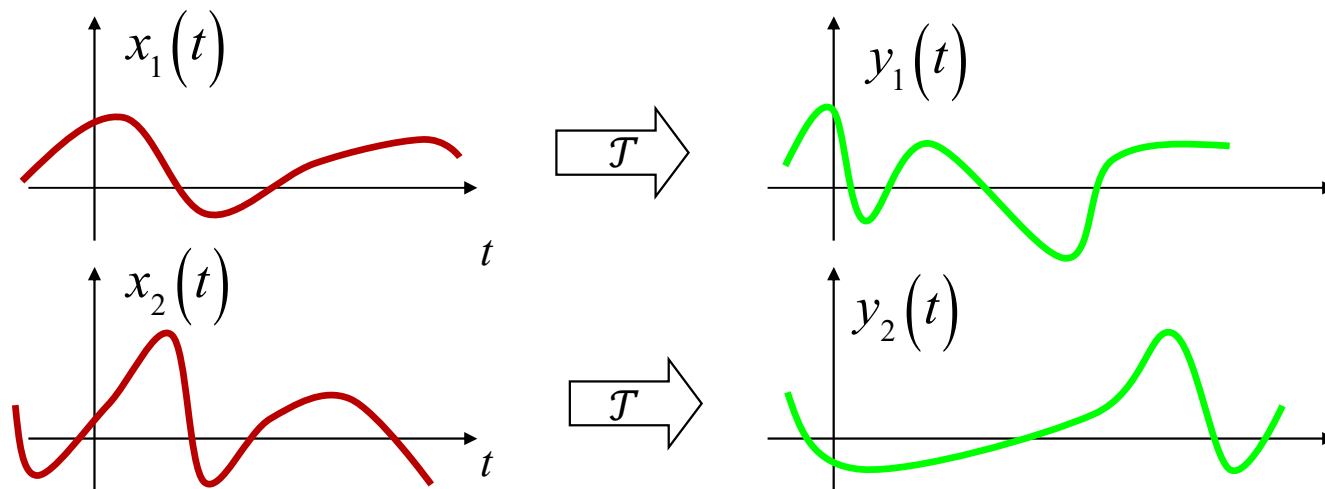
# Definizione di «Sistemi» nell'ambito della Teoria dei Segnali

- Un sistema in generale è un elemento che trasforma un segnale in un altro segnale



$$y(t) = \mathcal{T}\{x(t)\}$$

La lettera  $\mathcal{T}$  sta ad indicare una generica “*trasformazione*” del segnale di ingresso in un altro segnale in uscita

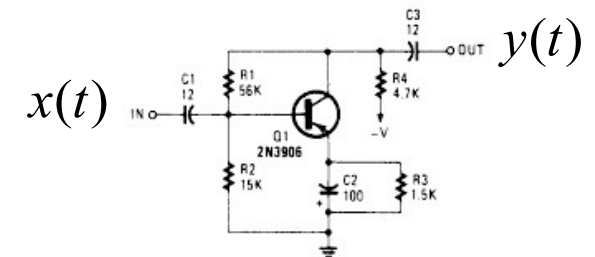


# Esempi (pratici) di sistemi

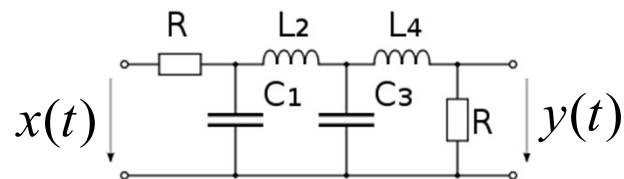
## □ Amplificatori elettronici



LOW-LEVEL AUDIO AMPLIFIER



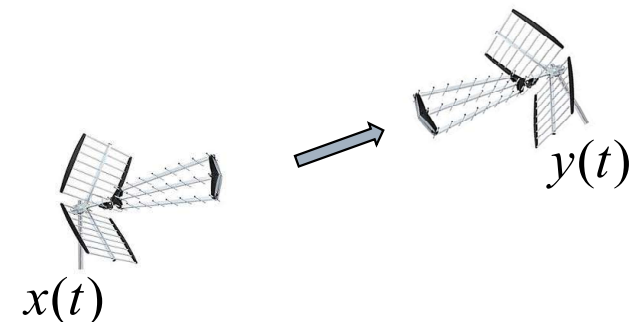
## □ Filtri analogici



Ma anche:

- Sistemi di registrazione audio o video e successiva riproduzione
- Trasduttori fisici (sensori di temperatura, pressione)
- ...

## □ Sistemi di trasmissione su lunga distanza di segnali di vario genere



# Classificazione sistemi

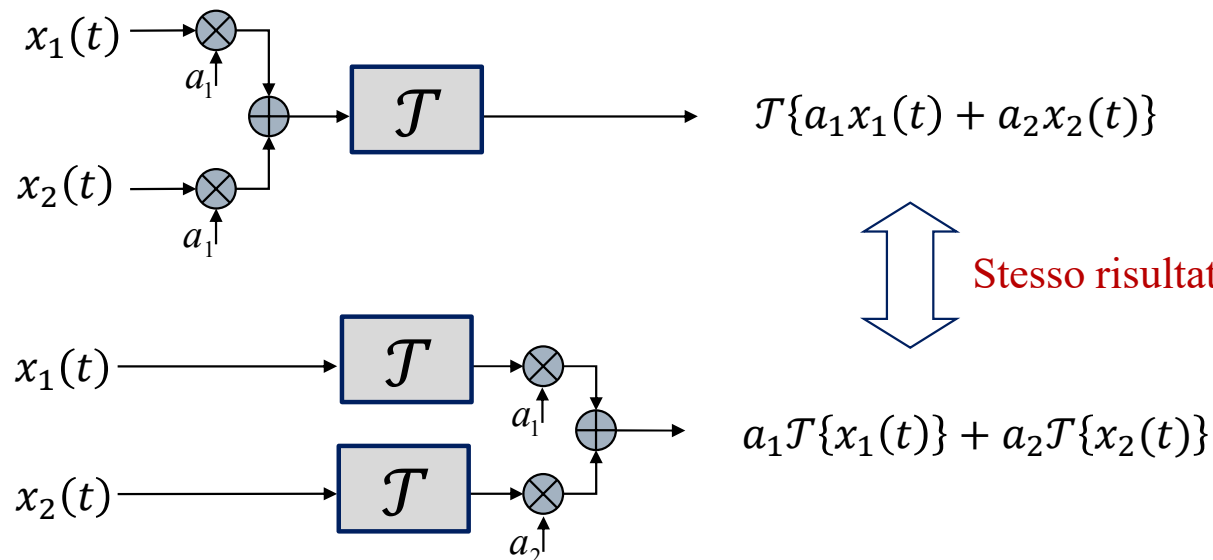
---

- ☐ Lineari - non lineari
- ☐ Senza memoria - con memoria
- ☐ Tempo invarianti - tempo varianti
  - Lineari Tempo Invarianti (LTI)
- ☐ Causali - non causali
- ☐ Reali - non reali
  - Fisicamente realizzabili
- ☐ Stabili - non stabili

# Sistemi lineari

- Sistemi per cui vale il principio della sovrapposizione degli effetti:

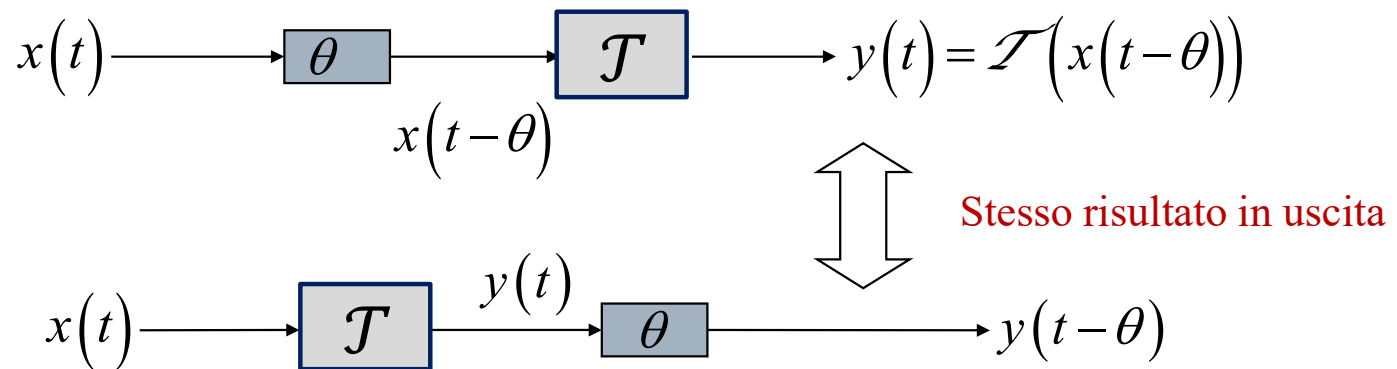
$$\mathcal{T}\{a_1x_1(t) + a_2x_2(t)\} = a_1\mathcal{T}\{x_1(t)\} + a_2\mathcal{T}\{x_2(t)\}$$



# Sistemi tempo invarianti

- Un ritardo sugli ingressi si traduce in un ritardo sulle uscite

$$\mathcal{T}\{x(t)\} = y(t) \Leftrightarrow \mathcal{T}\{x(t - \theta)\} = y(t - \theta)$$



Importante:

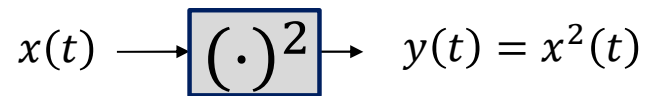
Nel resto del corso tratteremo soprattutto i sistemi  
«**Linear and Time Invariant**» (acronimo **LTI**)  
cioè i sistemi che soddisfano entrambe le proprietà

# Sistemi senza memoria

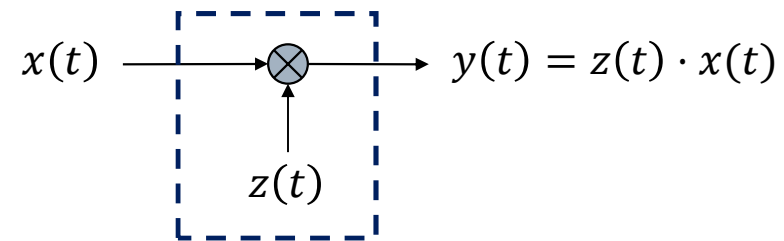
## □ L'uscita dipende solo dall'ingresso in quell'istante

- La relazione ingresso-uscita può eventualmente essere funzione del tempo

## □ Esempi:



- Senza memoria
- Non lineare
- Tempo Invariante



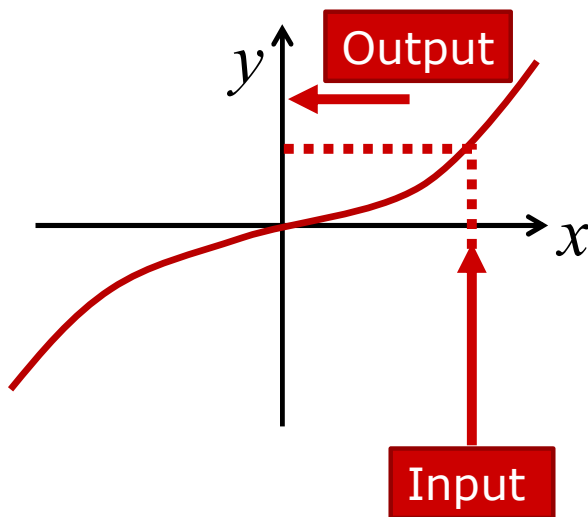
- Senza memoria
- Lineare
- Tempo Variante



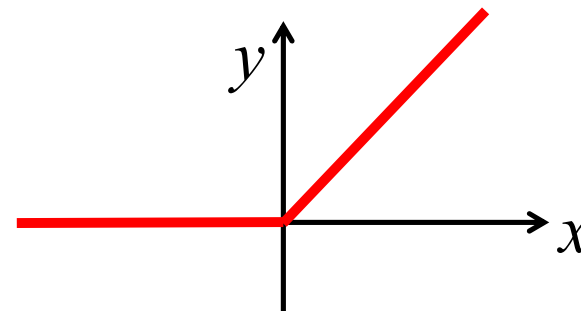
# Sistemi senza memoria e tempo invarianti

- I Sistemi senza memoria e tempo invarianti vengono spesso caratterizzati dalla loro **relazione ingresso uscita**
  - (e sono tipicamente non lineari)

Esempio #1



Esempio #2



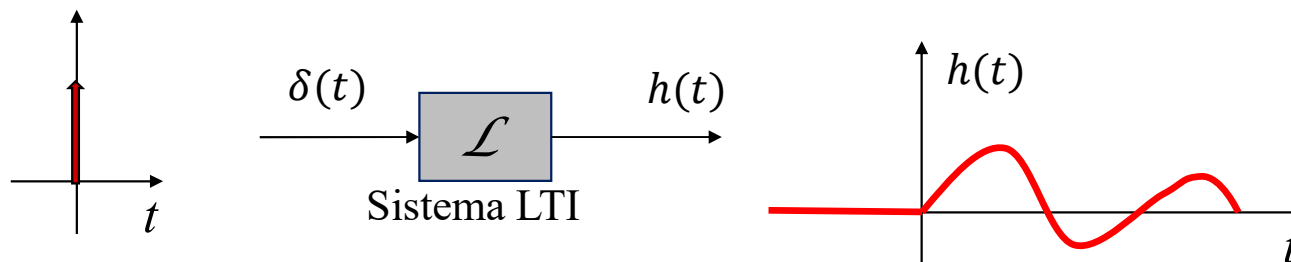
*Curiosità: questa relazione è chiamata  
ReLU (Rectified Linear Unit)  
E' una delle «activation functions» più usate in ambito  
di reti neurali (AI)*

[https://en.wikipedia.org/wiki/Rectifier\\_\(neural\\_networks\)](https://en.wikipedia.org/wiki/Rectifier_(neural_networks))

## Sistemi lineari tempo invarianti (LTI) e risposta all'impulso

- ❑ Nei sistemi LTI assume particolare rilevanza la cosiddetta «**risposta all'impulso**»
- ❑ **Si tratta dell'uscita del sistema (o «risposta») quando all'ingresso sia applicata una delta di Dirac**
- ❑ È indicata solitamente come  $h(t)$ , ed è definita come:

$$h(t) \triangleq \mathcal{L}(\delta(t))$$



## Sistemi lineari tempo invarianti (LTI) e risposta all'impulso

- La risposta all'impulso  $h(t)$  ha un ruolo fondamentale nei sistemi lineari tempo invarianti
- Ricordando infatti la proprietà della delta per cui:

$$x(t) = \int_{-\infty}^{+\infty} x(u)\delta(t-u)du$$

- Si ha che

$$y(t) = \mathcal{L}\{x(t)\} = \mathcal{L}\left\{\int_{-\infty}^{+\infty} x(u)\delta(t-u)du\right\} = \int_{-\infty}^{+\infty} x(u)\mathcal{L}\{\delta(t-u)\}du$$

linearità



*Risultato  
fondamentale  
per i sistemi LTI*

$$= \int_{-\infty}^{+\infty} x(u)h(t-u)du =$$

tempo invarianza

$$= x(t) * h(t) = y(t)$$

Operatore di convoluzione

- Si dimostra quindi che, nota  $h(t)$ , è possibile calcolare l'uscita dato un qualunque ingresso  $x(t)$  *(tramite l'integrale di convoluzione tra il segnale di ingresso e la risposta all'impulso)*

## Sistemi lineari tempo invarianti (LTI) e risposta all'impulso

- In sostanza, la risposta all'impulso  $h(t)$  identifica completamente un determinato sistema lineare tempo invariante
- Infatti, nota  $h(t)$ , potremo sempre calcolare l'uscita  $y(t)$  generata da un ingresso  $x(t)$  tramite l'integrale di convoluzione tra  $x(t)$  e  $h(t)$

$$y(t) = x(t) * h(t) = \int x(u) h(t - u) du$$

Terminologia: prodotto di convoluzione per calcolare l'uscita di un Sistema LTI

# Prodotto di convoluzione

---

- Il prodotto di convoluzione riveste una elevata importanza nell'ambito della teoria dei segnali per sistemi LTI
- Lo scriveremo spesso come:

$$y(t) = x(t) * h(t) = \int_{-\infty}^{+\infty} x(\tau)h(t - \tau)d\tau$$

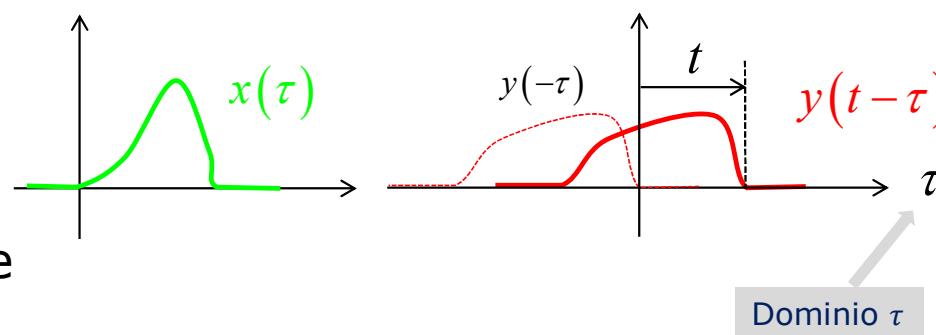
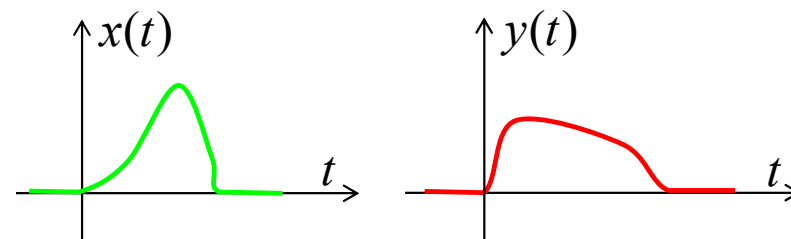
- Si può facilmente dimostrare che vale anche:
  - (simmetria dell'operatore di convoluzione)

$$y(t) = h(t) * x(t) = \int_{-\infty}^{+\infty} h(\tau)x(t - \tau)d\tau$$

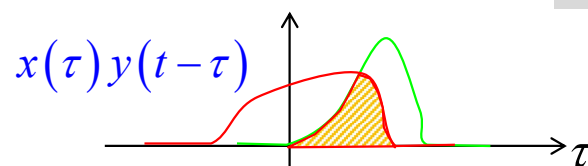
# Convoluzione: costruzione grafica

$$z(t) \triangleq \int_{-\infty}^{\infty} x(\tau) y(t-\tau) d\tau$$

- Consideriamo due funzioni generiche di cui vogliamo calcolare la convoluzione.
- Dovendo fare un integrale rispetto a  $\tau$ , interpretiamole graficamente come funzioni di  $\tau$
- Costruzione grafica:
  - 1) Ribalta uno dei due segnali rispetto all'asse  $\tau$  e traslalo di " $t$ "...
  - 2) Moltiplica le due funzioni tra di loro e integra rispetto a  $\tau$ ...
  - 3) ...ripeti per ogni  $t$ , facendo graficamente traslare la funzione  $y(\cdot)$  verso destra e poi integra



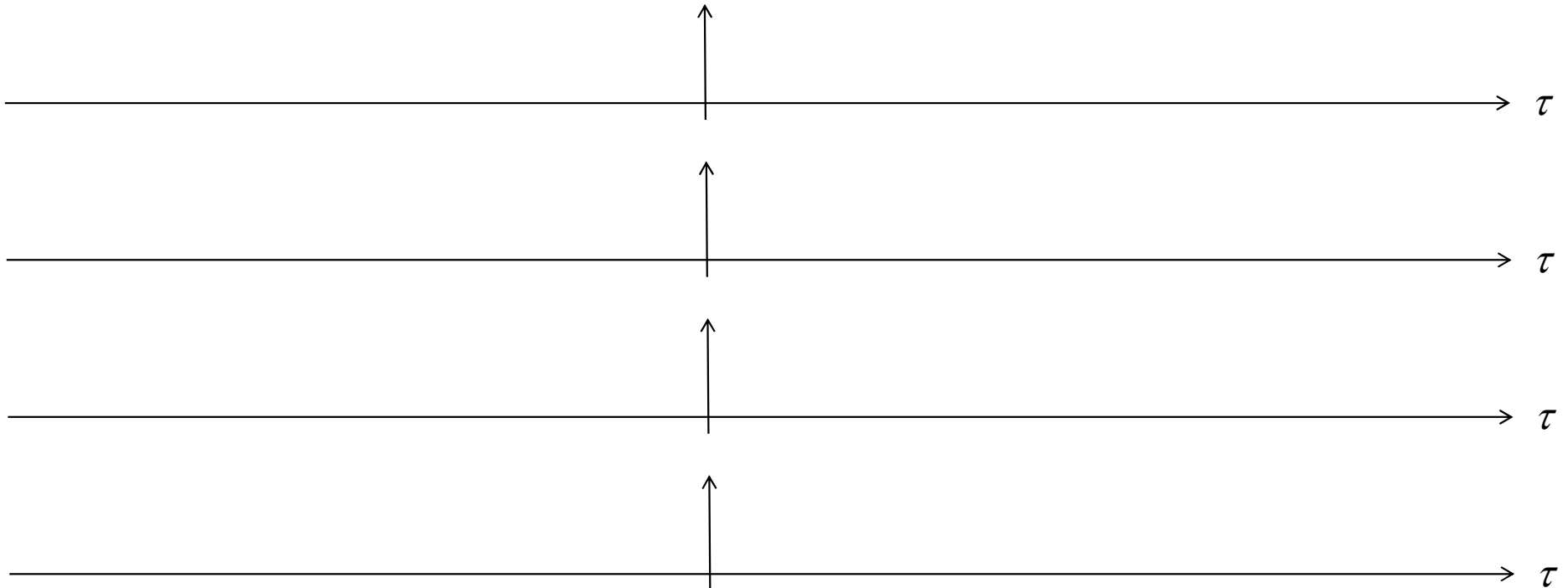
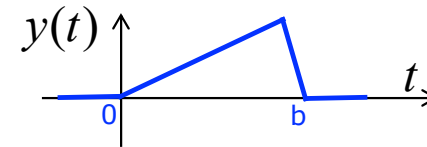
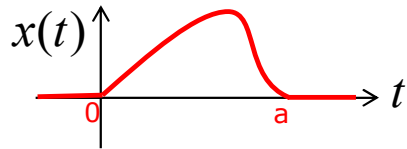
Dominio  $\tau$



**MOLTO IMPORTANTE!!!**

# Esempio di costruzione grafica

$$z(t) \triangleq \int_{-\infty}^{\infty} x(\tau) y(t-\tau) d\tau$$

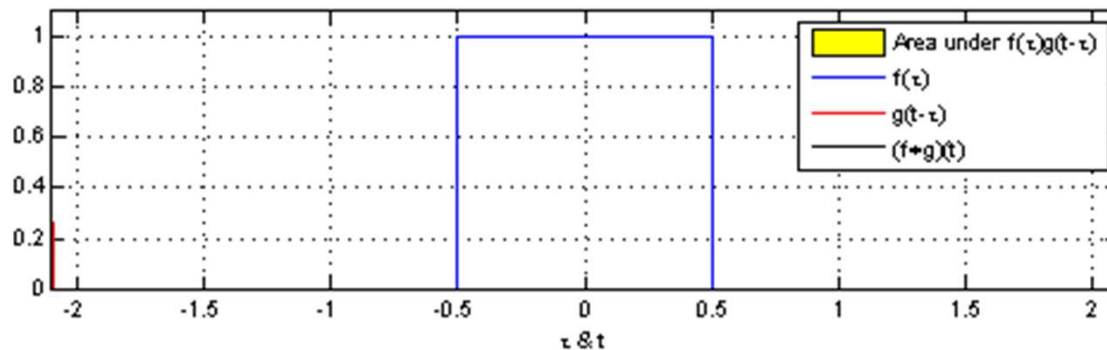


# Convoluzione: costruzione grafica

Esempi di costruzione grafica tratti da  
<https://en.wikipedia.org/wiki/Convolution>

$$z(t) \triangleq \int_{-\infty}^{\infty} f(\tau) g(t-\tau) d\tau$$

Convoluzione tra due porte di eguale durata nel tempo



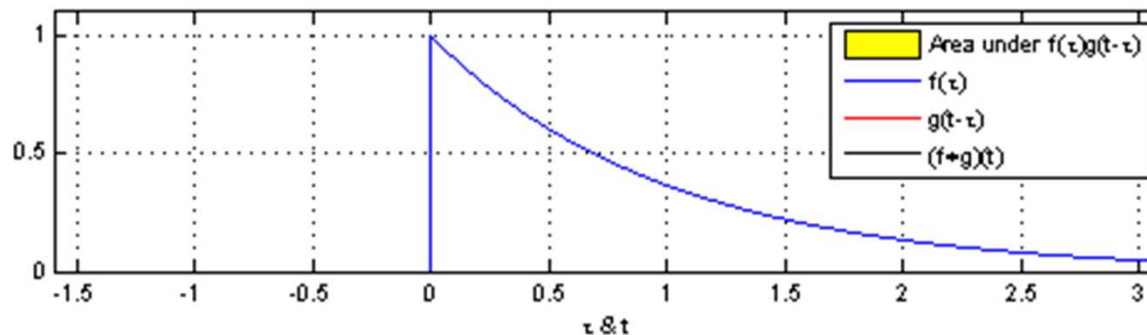


# Convoluzione: costruzione grafica

Esempi di costruzione grafica tratti da  
<https://en.wikipedia.org/wiki/Convolution>

$$z(t) \triangleq \int_{-\infty}^{\infty} f(\tau) g(t-\tau) d\tau$$

Convoluzione tra una porta ed una esponenziale decrescente unilatera

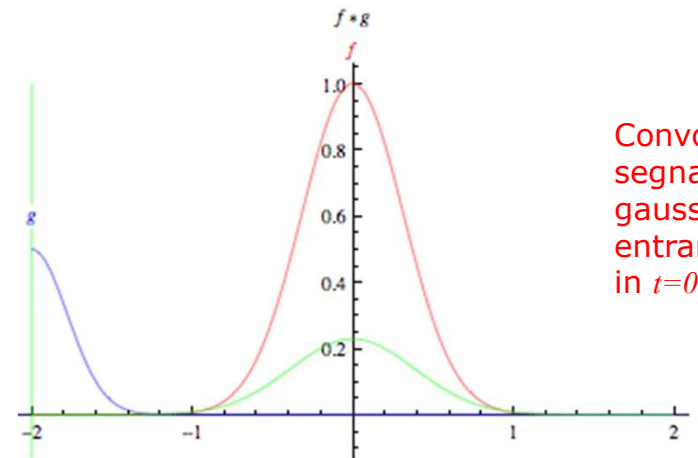
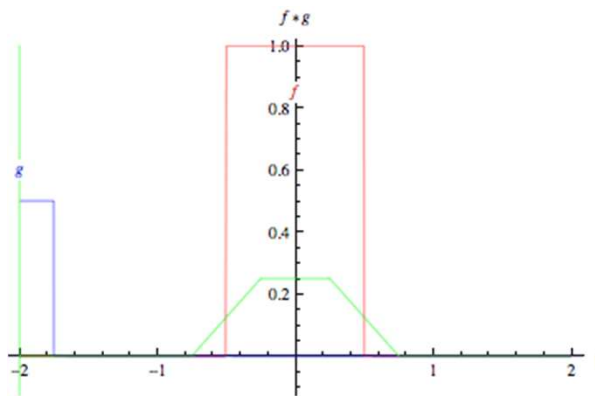


# Convoluzione: costruzione grafica

Esempi di costruzione grafica tratti da  
<http://mathworld.wolfram.com/Convolution.html>

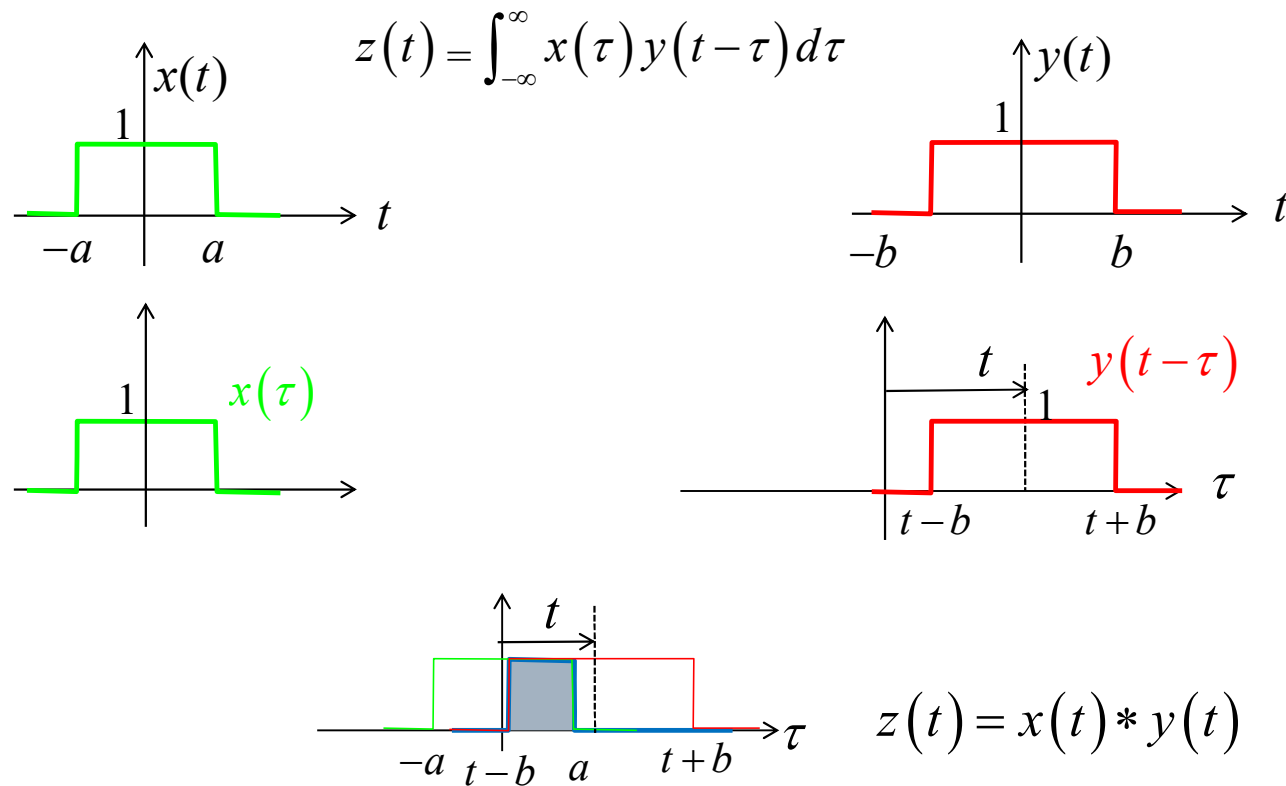
$$z(t) \triangleq \int_{-\infty}^{\infty} f(\tau) g(t-\tau) d\tau$$

Convoluzione tra  
 due porte  
 centrate in  $t=0$   
 ma di durata  
 diversa



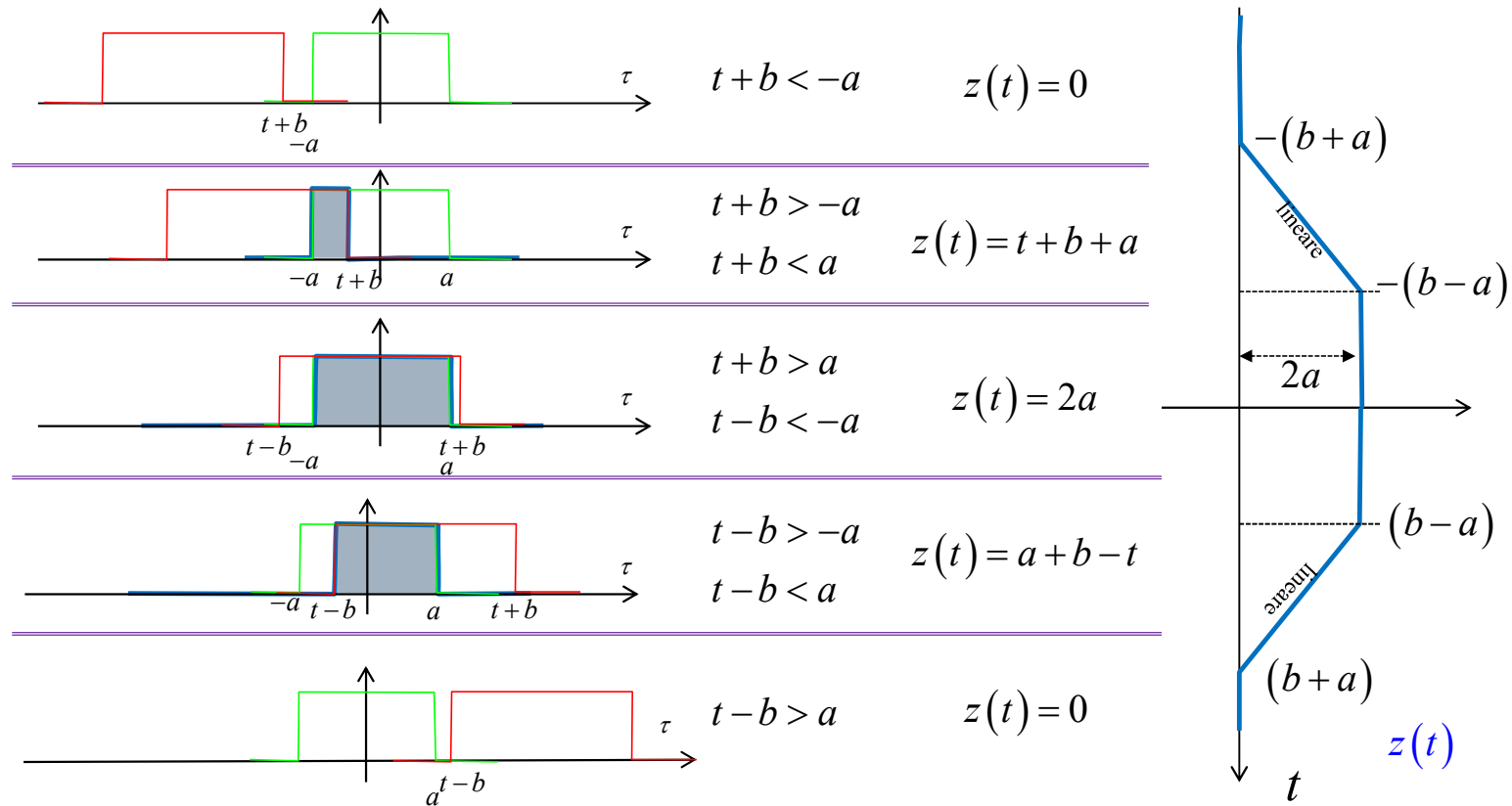
Convoluzione tra  
 segnali di tipo  
 gaussiano,  
 entrambi centrati  
 in  $t=0$

## Esempio: Convoluzione di due porte di diverse durate



...ripeti per ogni  $t$ .

# Convoluzione di due porte



Si noti come il supporto della funzione  $z(t)$  sia pari alla somma dei supporti di  $x(t)$  e  $y(t)$

# Supporti temporali e convoluzione

---

- Generalizzando il risultato dell'esempio precedente:
  - Dati due segnali entrambi a supporto temporale limitato  $T_1$  e  $T_2$
  - La loro convoluzione è anch'essa a supporto temporale limitato  $T_{out}$
  - Il supporto temporale risultante in uscita è la somma dei supporti in ingresso  $T_{out} = T_1 + T_2$

# Proprietà prodotto di convoluzione

- Il prodotto di convoluzione tra due segnali condivide le stesse proprietà del prodotto, cioè:

$$x(t) * y(t) = y(t) * x(t)$$

$$X(f)Y(f) = Y(f)X(f)$$

Commutatività

$$x(t) * [y(t) * w(t)] = [x(t) * y(t)] * w(t) = x(t) * y(t) * w(t)$$

$$X(f)[Y(f)W(f)] = [X(f)Y(f)]W(f) = X(f)Y(f)W(f)$$

Associatività

$$x(t) * (y(t) + w(t)) = x(t) * y(t) + x(t) * w(t)$$

$$X(f)(Y(f) + W(f)) = X(f)Y(f) + X(f)W(f)$$

Distributività

- Attenzione invece che:

$$x(t) * (y(t)w(t)) \neq (x(t) * y(t))w(t)$$

## Sistemi LTI: definizione della funzione di trasferimento

---

- Si definisce **funzione di trasferimento di un sistema lineare tempo invariante** la trasformata di Fourier della risposta all'impulso

*Definizione  
fondamentale  
per i sistemi LTI*

$$H(f) = \mathcal{F}\{\mathcal{L}\{\delta(t)\}\}$$

“funzione di  
trasferimento”

- La funzione di trasferimento di un sistema LTI è molto utilizzata nella pratica
- È spesso detta «risposta in frequenza» di un sistema lineare

# Uso della funzione di trasferimento

- Calcoliamo la trasformata di Fourier dell'uscita  $y(t)$  di un sistema LTI

$$Y(f) = \mathcal{F}\{y(t)\} = \int_{-\infty}^{+\infty} y(t) e^{-j2\pi f t} dt \text{ in cui } y(t) = \int_{-\infty}^{+\infty} x(\tau) h(t - \tau) d\tau$$

sostituendo nell'integrale

$$Y(f) = \int_{-\infty}^{+\infty} \int_{-\infty}^{+\infty} x(\tau) h(t - \tau) e^{-j2\pi f t} dt d\tau$$

- facciamo un cambio di variabile  $u = t - \tau$  da cui  $du = dt$  e  $t = u + \tau$

$$Y(f) = \int_{-\infty}^{+\infty} \int_{-\infty}^{+\infty} x(\tau) h(u) e^{-j2\pi f (u + \tau)} du d\tau = \int_{-\infty}^{+\infty} \int_{-\infty}^{+\infty} x(\tau) e^{-j2\pi f \tau} h(u) e^{-j2\pi f u} du d\tau$$

$$Y(f) = \int_{-\infty}^{+\infty} h(u) e^{-j2\pi f u} du \int_{-\infty}^{+\infty} x(\tau) e^{-j2\pi f \tau} d\tau = H(f) X(f)$$

- Otteniamo dunque che

$$Y(f) = H(f) X(f)$$



## Sistemi LTI: definizione della funzione di trasferimento

- Abbiamo dunque dimostrato che la funzione di trasferimento di un sistema LTI è il prodotto della tdf del segnale di ingresso per la funzione di trasferimento, cioè:

$$Y(f) = H(f) X(f)$$

*Osservazione importante derivante da questa formula:  
i sistemi lineari **non** «*mischiano*» le frequenze  
(cioè l'uscita a frequenza  $f$  dipende solo dall'ingresso a frequenza  $f$ , e non ad altre frequenze)*

- Questo è un risultato fondamentale

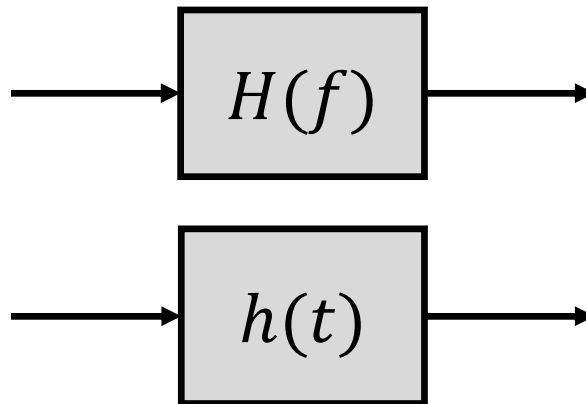
$$H(f) = \frac{Y(f)}{X(f)}$$

Definizione della funzione di trasferimento nel dominio delle frequenze

# Risposta all'impulso e funzione di trasferimento

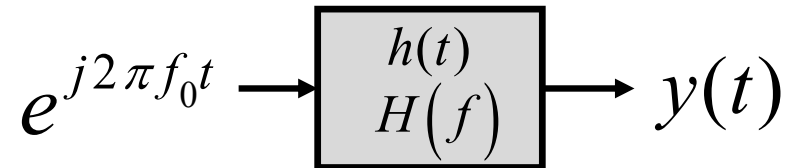
---

- Un sistema lineare tempo invariante (LTI) è dunque completamente caratterizzato dalla sua risposta all'impulso  $h(t)$  o dalla sua funzione di trasferimento  $H(f)$
- Graficamente si indica dunque il sistema lineare come un blocco «etichettato» da  $h(t)$  oppure da  $H(f)$



## Sistemi LTI e ingresso “esponenziale complesso”

- Poniamo all'ingresso di un sistema LTI una sinusoide complessa alla frequenza  $f_0$



$$x(t) = \exp(j2\pi f_0 t) \Rightarrow X(f) = \delta(f - f_0)$$

$$Y(f) = X(f)H(f) = \delta(f - f_0)H(f) = \delta(f - f_0)H(f_0)$$

proprietà  
campionamento  
della delta

$$y(t) = H(f_0) \exp(j2\pi f_0 t) = H(f_0) \cdot x(t)$$

Nota: per questo particolare ingresso, l'uscita dipende solo dalla funzione di trasferimento calcolata in  $f_0$

# Risposta alla sinusoide in sistemi LTI

- Poniamo in ingresso  $x(t) = \cos(2\pi f_0 t)$  con TdF  $X(f) = \frac{1}{2}[\delta(f - f_0) + \delta(f + f_0)]$
- Otteniamo in uscita

$$Y(f) = \frac{1}{2}[\delta(f - f_0) + \delta(f + f_0)]H(f)$$

- Ricordando le proprietà di "campionamento" della delta possiamo scrivere

$$Y(f) = \frac{1}{2}[H(f_0) \delta(f - f_0) + H(-f_0) \delta(f + f_0)]$$

- Da cui antitrasformando e scrivendo modulo e fase di  $H(f)$  in  $\pm f_0$

$$\begin{aligned} y(t) &= \frac{1}{2}|H(f_0)|e^{j \arg\{H(f_0)\}}e^{j2\pi f_0 t} + \frac{1}{2}|H(-f_0)|e^{j \arg\{H(-f_0)\}}e^{-j2\pi f_0 t} \\ &= \frac{1}{2}|H(f_0)|e^{j(2\pi f_0 t + \arg\{H(f_0)\})} + \frac{1}{2}|H(-f_0)|e^{-j(2\pi f_0 t - \arg\{H(-f_0)\})} \end{aligned}$$

# Risposta alla sinusoide in sistemi LTI

- Se  $h(t)$  è reale, per le proprietà della trasformata di Fourier

$$H(f_0) = H(-f_0) \quad \text{Modulo pari}$$

$$\arg\{H(f_0)\} = -\arg\{H(-f_0)\} \quad \text{Fase dispari}$$

- Da cui otteniamo

$$y(t) = \frac{1}{2}|H(f_0)|e^{j(2\pi f_0 t + \arg\{H(f_0)\})} + \frac{1}{2}|H(f_0)|e^{-j(2\pi f_0 t + \arg\{H(f_0)\})}$$

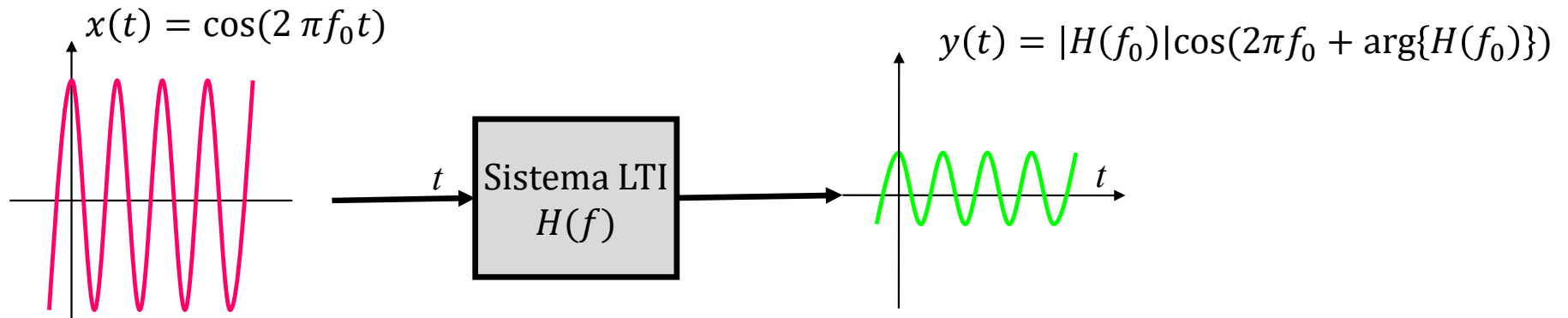
$$y(t) = |H(f_0)|\cos(2\pi f_0 t + \arg\{H(f_0)\})$$

- Conclusione importante: un sistema LTI reale trasforma un segnale sinusoidale in un altro segnale sinusoidale alla stessa frequenza

- Ma in generale con ampiezza e fase diverse da quelle dell'ingresso

Nota: si può ottenere un risultato analogo ponendo in ingresso il segnale  $x(t) = \sin(2\pi f_0 t)$

# Sistemi LTI e segnali sinusoidali



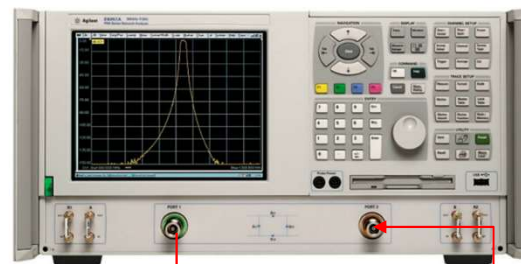
- I sistemi LTI non alterano la frequenza di un segnale sinusoidale posto al loro ingresso ma solo la sua fase e l'ampiezza
  - Le sinusoidi sono "autofunzioni" di un sistema LTI
  - La fase e l'ampiezza in uscita dipendono SOLO dal valore di  $H(f)$  alla frequenza  $f_0$

# Caratterizzazione sperimentale di un sistema lineare

- Questa proprietà è alla base del più comune metodo sperimentale per caratterizzare un sistema lineare

Apparato automatico di misura  
(*Network Analyzer*)

*Lo strumento genera una sinusoide ad ampiezza costante. Ad intervalli successivi, lo strumento fa crescere la frequenza («sweep» in frequenza)*

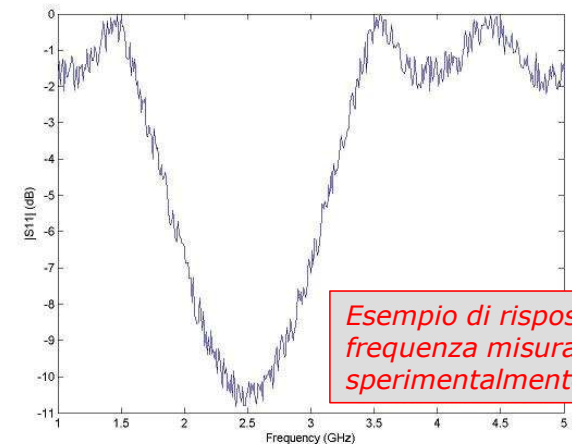


*Per ogni frequenza, lo strumento misura modulo e fase della sinusoide in uscita dal sistema lineare, e può così ricostruire la funzione di trasferimento*

in

Sistema lineare  
da  
caratterizzare

out



*Esempio di risposta in frequenza misurata sperimentalmente*

# Concetto di causalità nei sistema LTI

- ❑ Riscriviamo opportunamente l'integrale di convoluzione

$$y(t) = \int_{-\infty}^{+\infty} x(\tau)h(t-\tau)d\tau = \int_{-\infty}^{+\infty} x(t-\theta)h(\theta)d\theta$$

- ❑ Operando la sostituzione  $t - \tau = \theta$  e spezzando l'integrale

$$y(t) = \underbrace{\int_{-\infty}^0 x(t-\theta)h(\theta)d\theta}_{\theta < 0} + \underbrace{\int_0^{+\infty} x(t-\theta)h(\theta)d\theta}_{\theta > 0}$$

*Questa parte dipende dai valori di  $x(\cdot)$  per tempi **successivi** a  $t$*

$\theta < 0$

$\theta > 0$

*Questa parte dipende dai valori di  $x(\cdot)$  per tempi **precedenti** a  $t$*

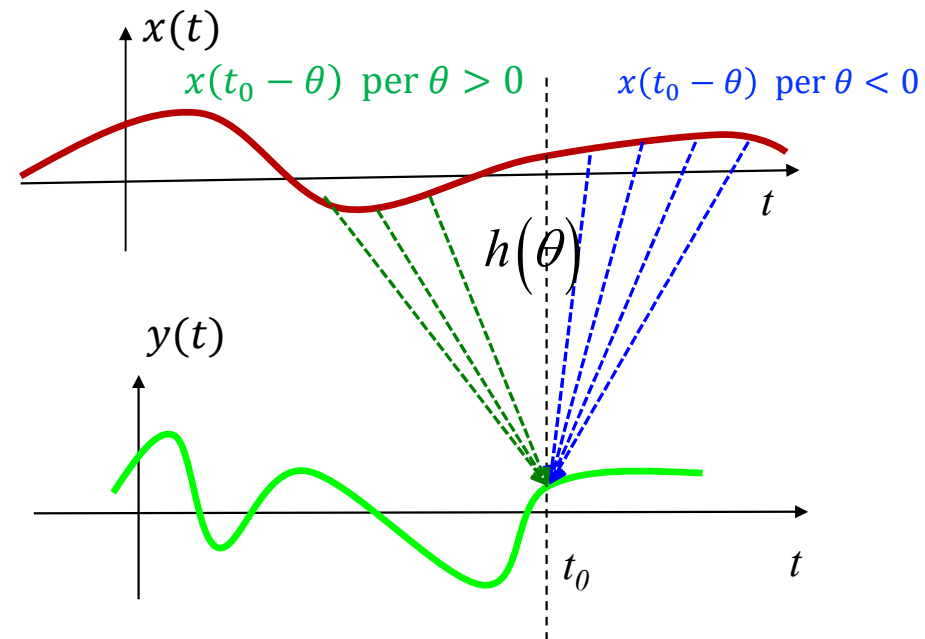
In generale dunque, l'uscita  $y(t)$  all'istante  $t$  dipende dai valori dell'ingresso  $x(t)$  sia agli istanti precedenti che agli istanti successivi a  $t$



# Concetto di causalità nei sistema LTI

Il risultato della slide precedente può anche essere interpretato come segue:

- In un generico integrale di convoluzione l'uscita ad un istante  $t_0$  può dipendere anche dai valori successivi a  $t_0$  dell'ingresso  $x(t)$
- Questa situazione però NON è realistica per un sistema fisico
  - Si tratterebbe infatti di un sistema che in uscita «predice» cosa avverrà in futuro

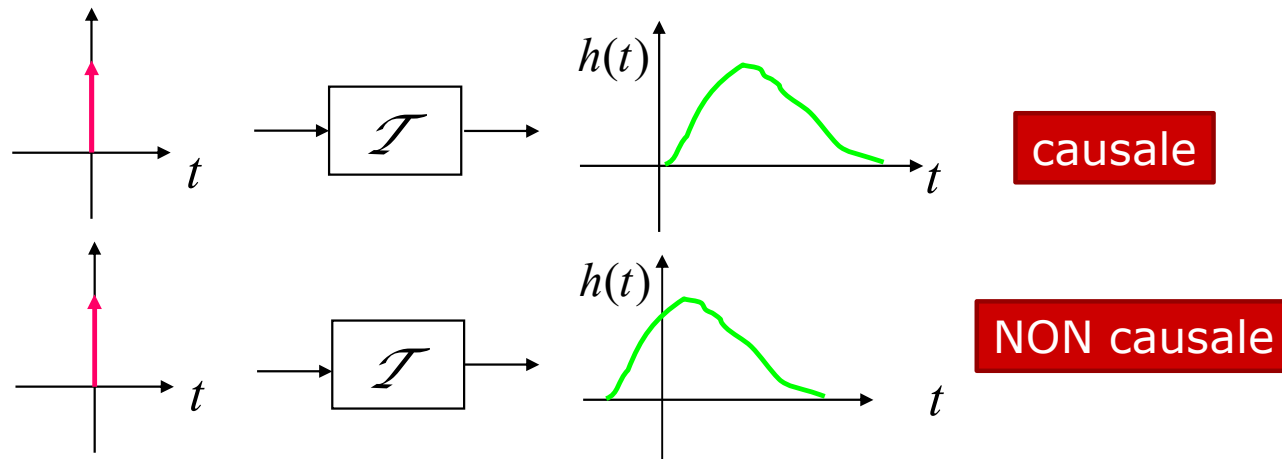


# Condizione di causalità in un sistema LTI

- ❑ Per un sistema causale l'uscita in un certo istante non può dipendere dagli ingressi nel futuro
- ❑ Nei sistemi LTI la causalità richiede che **la risposta all'impulso sia nulla per  $t < 0$**

$$h(t) = 0$$

$$\forall t < 0$$



## Sistemi reali e condizioni di parità sulla funzione di trasferimento $H(f)$

---

- Per un sistema reale, ad un ingresso reale deve corrispondere un uscita reale

Conseguentemente:

- La risposta all'impulso  $h(t)$  deve essere reale
- La funzione di trasferimento  $H(f)$  deve avere
  - Parte reale pari
  - Parte immaginaria dispari
  - Modulo pari
  - Fase dispari

# Fisica realizzabilità

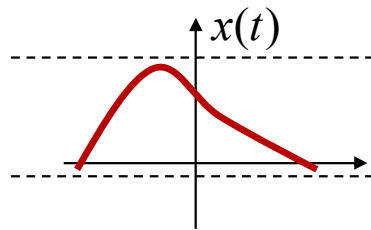
---

- Corrisponde alle due condizioni
  - **Sistema Causale** : risponde alle leggi fisiche di causa-effetto
  - **Sistema Reale**: ad un ingresso reale corrisponde un'uscita reale
  
- Riassumendo, la condizione di fisica realizzabilità richiede che la risposta all'impulso  $h(t)$  sia
  - Reale
  - Nulla per  $t < 0$

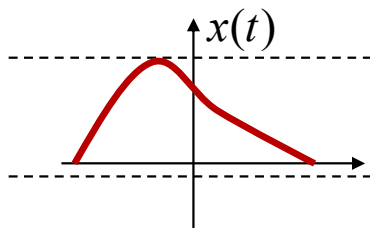
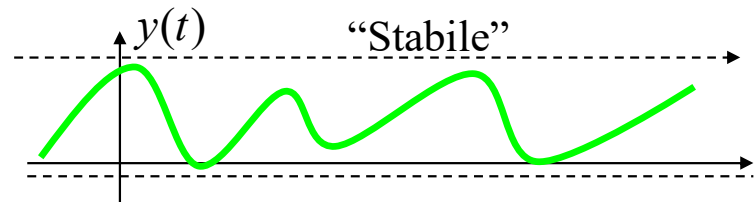
# Stabilità Bounded Input Bounded Output (BIBO)

- Definizione: ad un ingresso limitato in ampiezza deve corrispondere un uscita limitata in ampiezza

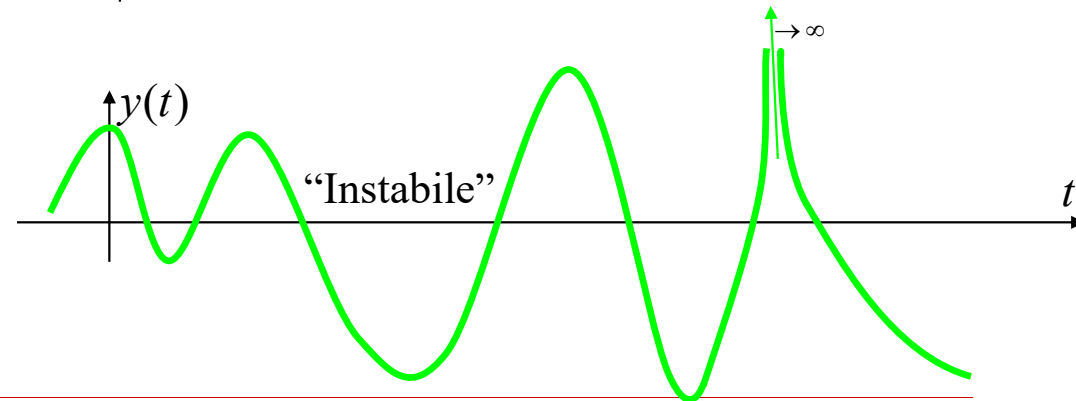
$$\forall x(t) : |x(t)| < \infty, \forall t \Rightarrow |y(t)| < \infty, \forall t$$



$\mathcal{I}$



$\mathcal{I}$



# Condizioni di stabilità nei sistemi LTI

□ Si dimostra che:

$$\text{Sistema LTI stabile} \Leftrightarrow \int |h(t)| dt < \infty \Rightarrow |H(f)| < \infty \quad \forall f$$

Calcoliamo infatti il  
modulo dell'uscita:

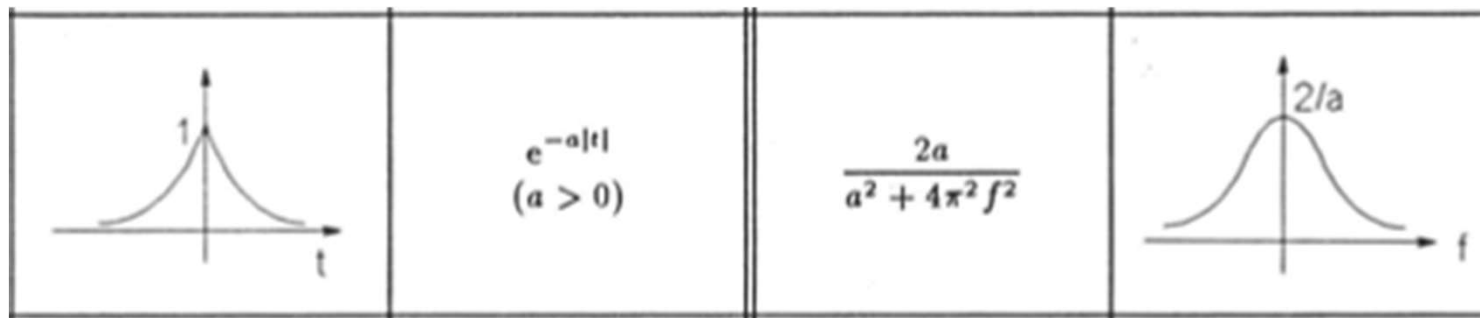
$$\begin{aligned} |y(t)| &= \left| \int x(t-\tau) h(\tau) d\tau \right| < \int |x(t-\tau)| |h(\tau)| d\tau \\ &< \int \max |x(t-\tau)| |h(\tau)| d\tau \\ &= \max |x(t-\tau)| \int |h(\tau)| d\tau < \infty \end{aligned}$$

(per la  
disuguaglianza  
di Schwarz)

$$|y(t)| = (\max |x(\cdot)|) \cdot (\text{quantità finita})$$

# Esempio

- Valutare la stabilità e la fisica realizzabilità di un sistema con risposta all'impulso  $h(t) = e^{-\left(\frac{|t|}{T}\right)}$  con  $T > 0$
- Dalle tavole, la condizione risulta subito verificata nel dominio della frequenza:



# Esempio

---

- Valutare la stabilità e la fisica realizzabilità di un sistema con risposta all'impulso  $h(t) = e^{-\left(\frac{|t|}{T}\right)}$  con  $T > 0$
- 

- Verifichiamo anche la condizione nel dominio del tempo:

$$\int_{-\infty}^{+\infty} e^{-\left(\frac{|t|}{T}\right)} dt = 2 \int_0^{+\infty} e^{-\left(\frac{t}{T}\right)} dt = -T \left[ e^{-\left(\frac{t}{T}\right)} \right]_0^{+\infty} = -T[0 - 1] = T < +\infty$$

- Il sistema rispetta la condizione di stabilità

- Tuttavia si osserva che il sistema non è causale quindi non è fisicamente realizzabile



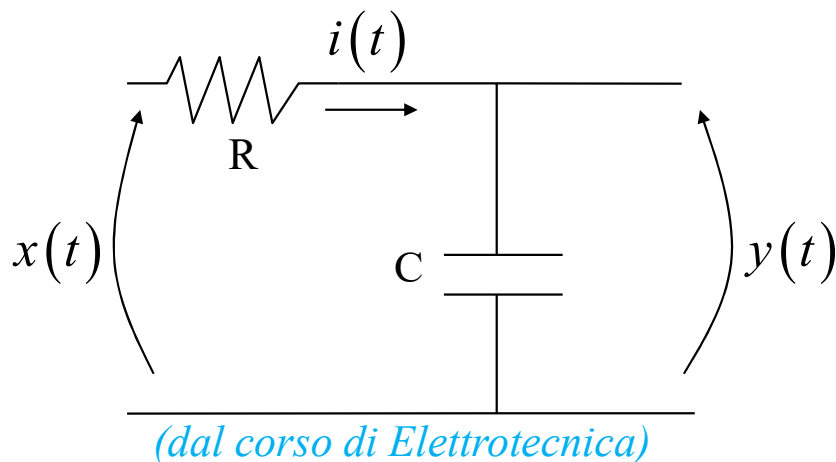
# Calcolo della funzione di trasferimento

---

- La funzione di trasferimento può essere valutata nei sistemi pratici in vari modi diversi:
  - Tramite una misura con un analizzatore automatico (Network Analyzer, come già accennato in slide precedenti)
  - Misurando il segnale di uscita dato un segnale di ingresso noto
  - In alcuni tipologie di problema: risolvendo nel dominio delle frequenze il sistema lineare differenziale che descrive la realtà fisica
    - Si veda slide successiva per il "famoso" filtro RC

## Esempio di calcoli di funzioni di trasferimento: Filtro RC

- Si assuma che i segnali  $x(t)$  e  $y(t)$  siano le tensioni in ingresso e uscita di un filtro RC



$$x(t) - y(t) = Ri(t)$$

$$i(t) = C \frac{dy(t)}{dt}$$

$$x(t) = RC \frac{dy(t)}{dt} + y(t)$$

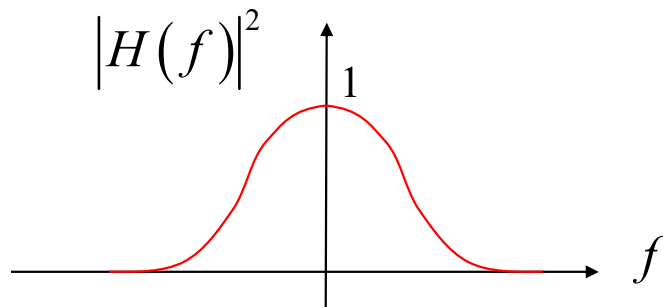
Trasformiamo l'ultima espressione tenendo conto delle proprietà della trasformata di Fourier per la derivata

$$X(f) = (1 + j2\pi fRC)Y(f) \Rightarrow H(f) = \frac{1}{(1 + j2\pi fRC)}$$

## Esempio di calcoli di funzioni di trasferimento: Filtro RC

□ Calcoliamone il modulo

$$|H(f)|^2 = \frac{1}{1 + (2\pi RCf)^2}$$



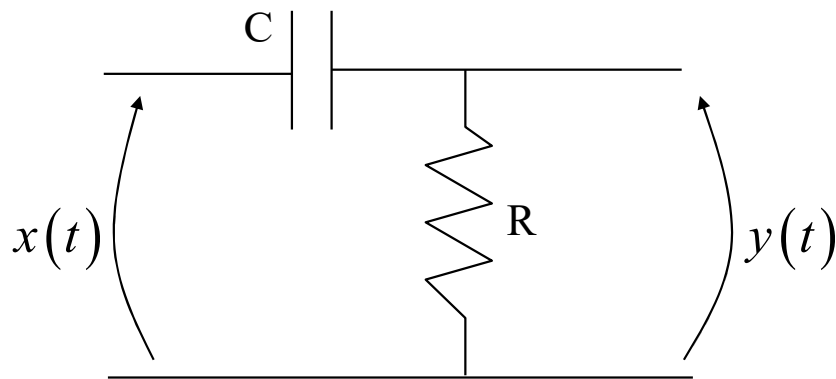
Questo tipo di funzione di trasferimento è chiamata "**passabasso**" in quanto fa passare le basse frequenze e "annulla" le alte frequenze

Calcoliamo la frequenza alla quale la funzione di trasferimento si dimezza rispetto al massimo (cioè vale 0.5 in questo caso)  
*È detta "frequenza a -3dB"*

$$f_{3dB} = \frac{1}{2\pi RC}$$

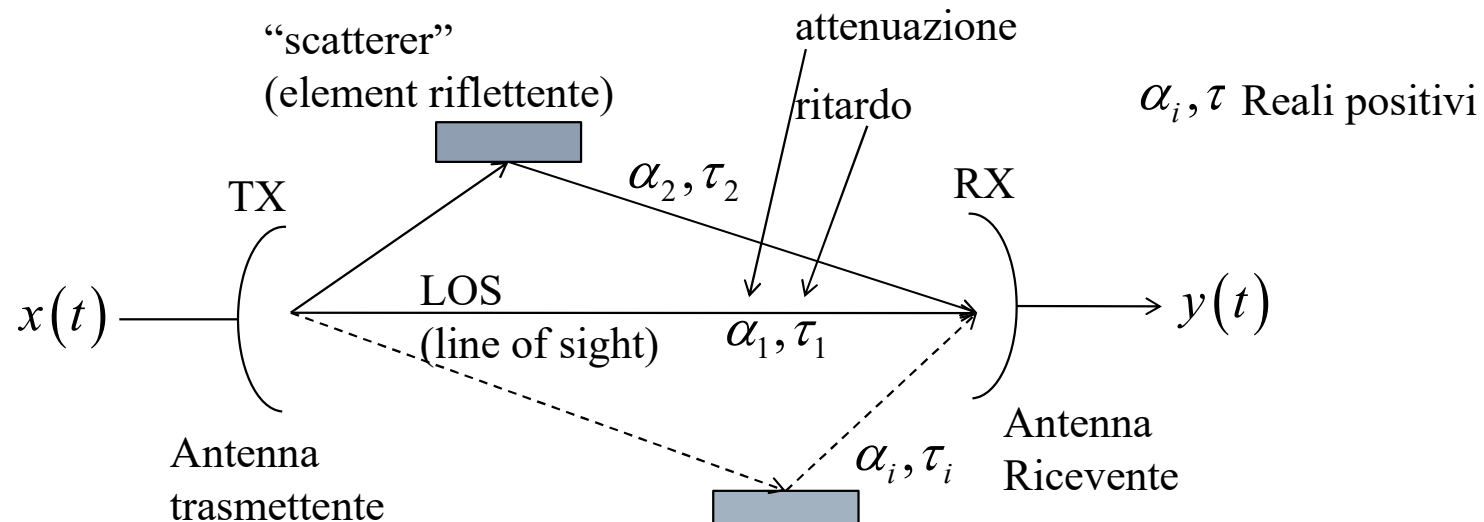
# Esempio a casa

- Calcolare la funzione di trasferimento per questa altra combinazione circuitale



*(dal corso di Elettrotecnica)*

## Esempio: Canale di trasmissione radio con eco per riflessioni multiple



$P$  = numero di percorsi multipli tra le due antenne

$$y(t) = \sum_{i=1}^P \alpha_i \cdot x(t - \tau_i)$$

$$\delta(t) \longrightarrow h(t) = \sum_{i=1}^P \alpha_i \cdot \delta(t - \tau_i)$$

## Esempio: Canale di trasmissione con eco per riflessioni multiple

Calcoliamo la funzione di trasferimento:

$$\sum_{i=1}^P \alpha_i \delta(t - \tau_i) \Rightarrow H(f) = \sum_{i=1}^P \alpha_i \exp(-j2\pi f \tau_i)$$

Calcoliamo il modulo della funzione di trasferimento

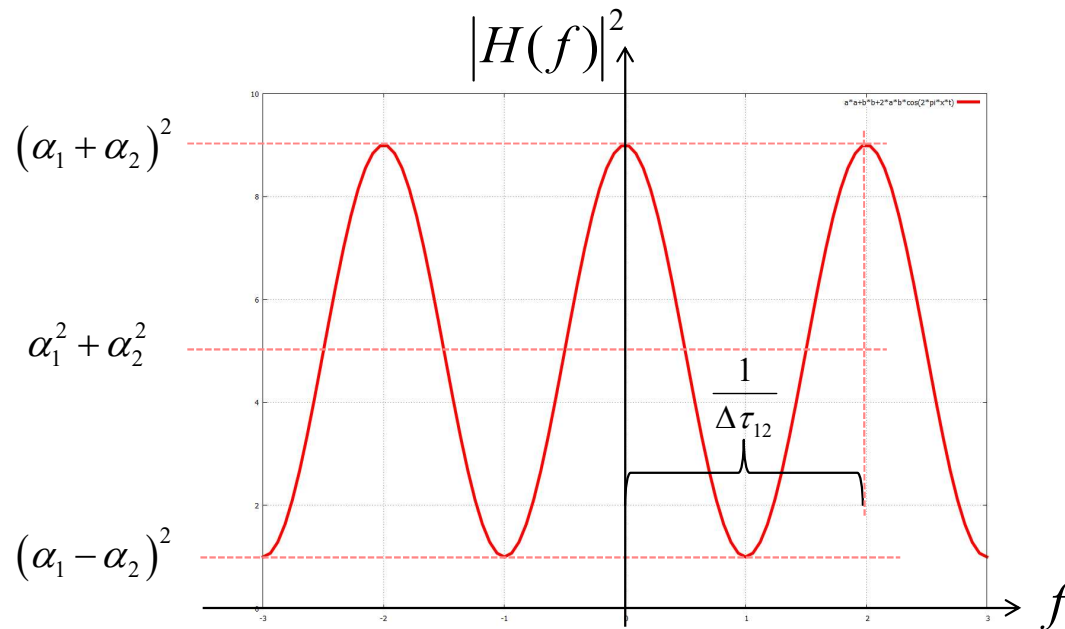
$$\begin{aligned} |H(f)|^2 &= \sum_{i=1}^P \alpha_i \exp(-j2\pi f \tau_i) \sum_{k=1}^P \alpha_k^* \exp(j2\pi f \tau_k) \\ &= \sum_{i=1}^P \sum_{k=1}^P \alpha_i \alpha_k \exp(-j2\pi f (\tau_i - \tau_k)) \\ &= \sum_{i=1}^P |\alpha_i|^2 + \sum_{i=1}^P \sum_{\substack{k=1 \\ k \neq i}}^P \alpha_i \alpha_k \exp(-j2\pi f \Delta \tau_{ik}) \\ &= \sum_{i=1}^P |\alpha_i|^2 + \sum_{i=1}^P \sum_{\substack{k=1 \\ k > i}}^P 2\alpha_i \alpha_k \cos(2\pi f \Delta \tau_{ik}) \end{aligned}$$

Sia:  $\Delta \tau_{ik} = (\tau_i - \tau_k)$

$$\begin{aligned} &\alpha_i \alpha_k \exp(-j2\pi f \Delta \tau_{ik}) + \alpha_k \alpha_i \exp(-j2\pi f \Delta \tau_{ki}) \\ &= \alpha_i \alpha_k \exp(-j2\pi f \Delta \tau_{ik}) + \alpha_k \alpha_i \exp(j2\pi f \Delta \tau_{ik}) \\ &= 2\alpha_i \alpha_k \cos(2\pi f \Delta \tau_{ik}) \end{aligned}$$

# Esempio: funzione di trasferimento risultante per $P=2$ percorsi multipli

$$|H(f)|^2 = \sum_{i=1}^2 |\alpha_i|^2 + \sum_{i=1}^2 \sum_{\substack{k=1 \\ k>i}}^2 2\alpha_i \alpha_k \cos(2\pi f \Delta\tau_{ik}) = |\alpha_1|^2 + |\alpha_2|^2 + 2\alpha_1 \alpha_2 \cos(2\pi f \Delta\tau_{12})$$



**Nota:**

si tratta di un risultato molto rilevante per molte applicazioni di trasmissione wireless (denominato "fading in frequenza"): in presenza di percorsi multipli la funzione di Trasferimento NON è piatta in frequenza



**Politecnico  
di Torino**

Department  
of Electronics and  
Telecommunications

# Teoria dei Segnali

---

## □ Tipologie di filtri realizzabili

- Esempi di sistemi LTI (linear and time invariant)



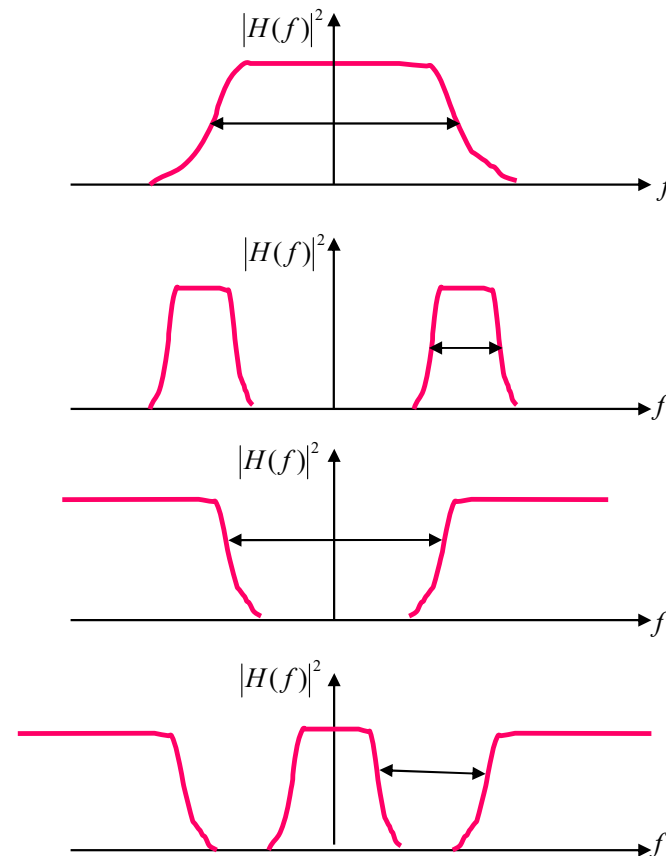
# Che cosa si intende per "filtri"

---

- Strettamente parlando, si tratta semplicemente di sistemi lineari LTI
- Tuttavia, nella pratica ingegneristica si parla di "filtri" quando il sistema ingresso-uscita è stato esplicitamente progettato per ottenere delle specifiche tipologie di risposta in frequenza
- In moltissimi campi dell'ingegneria è fondamentale selezionare alcuni intervalli di frequenza rispetto ad altri

# Classificazione dei filtri in base alla loro risposta in frequenza

- ❑ **Passa basso**: Il filtro ha banda finita centrata intorno all'origine (DC) (banda base)
- ❑ **Passa banda**: Il filtro ha banda finita, che non include l'origine
- ❑ **Passa alto**: il filtro ha banda infinita, che non include l'origine
- ❑ **Elimina banda**: il filtro ha banda infinita, e non include un certo intervallo di frequenze



Funzioni di trasferimento sull'asse delle frequenze

# Esempi pratici di filtri passabasso

Typical Low Pass Filter Frequency Response

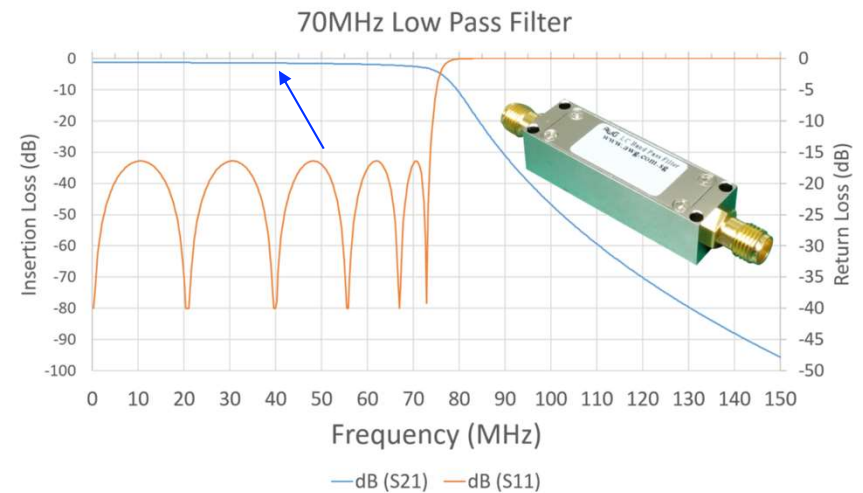
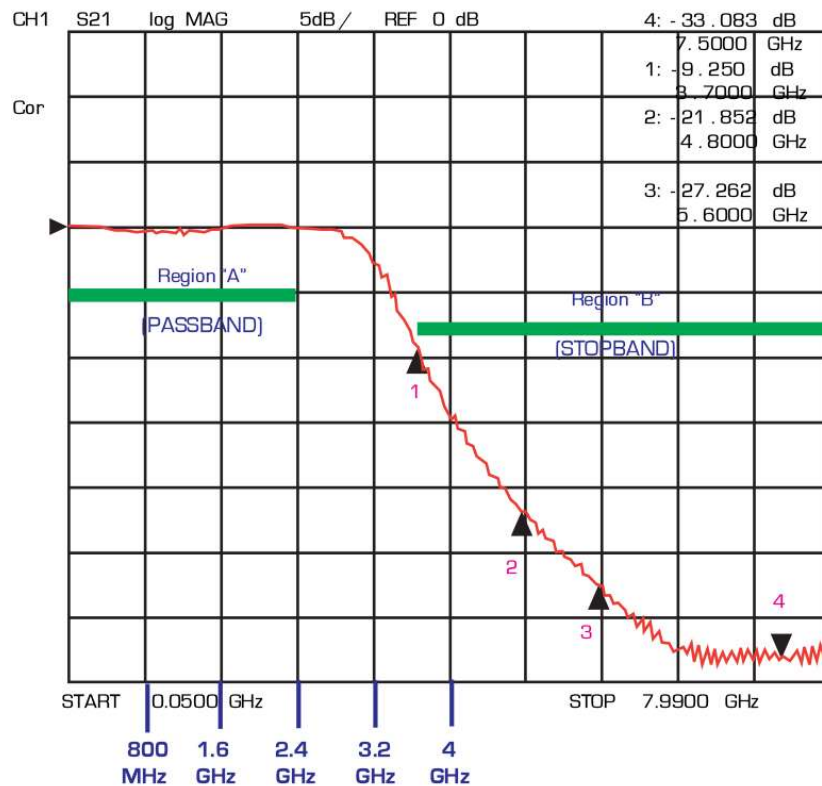


Immagine tratta da: <https://awgrf.com/vhf-band-low-pass-filter/>

Immagine tratta da: <https://ims-resistors.com/specifying-a-low-pass-filter/>

# Esempi pratici di filtri passabanda

- I filtri passabanda sono fondamentali in tutti i sistemi radio, dove è sempre necessario selezionare un certo intervallo di frequenze e "annullare" il meglio possibile tutte le altre

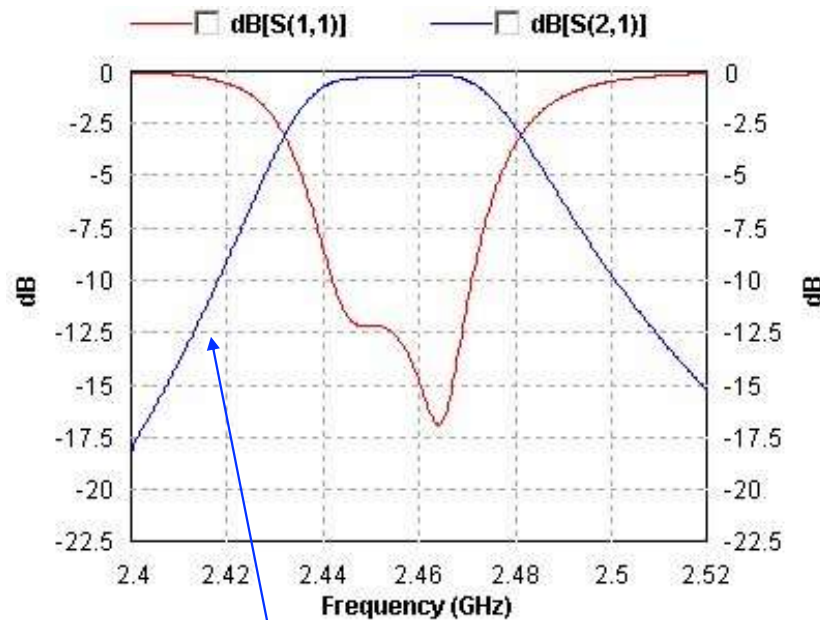


Immagine tratta da:

[https://www.researchgate.net/publication/255711055\\_A\\_New\\_Minature\\_Narrowband\\_Microstrip\\_Bandpass\\_Filter\\_Design\\_Based\\_on\\_Peano\\_Fractal\\_Geometry/figures?lo=1](https://www.researchgate.net/publication/255711055_A_New_Minature_Narrowband_Microstrip_Bandpass_Filter_Design_Based_on_Peano_Fractal_Geometry/figures?lo=1)

# Esempi pratici di filtri passabanda

- Applicazioni: ad esempio per selezionare un canale nello spettro usato per il broadcasting televisivo DVB-T

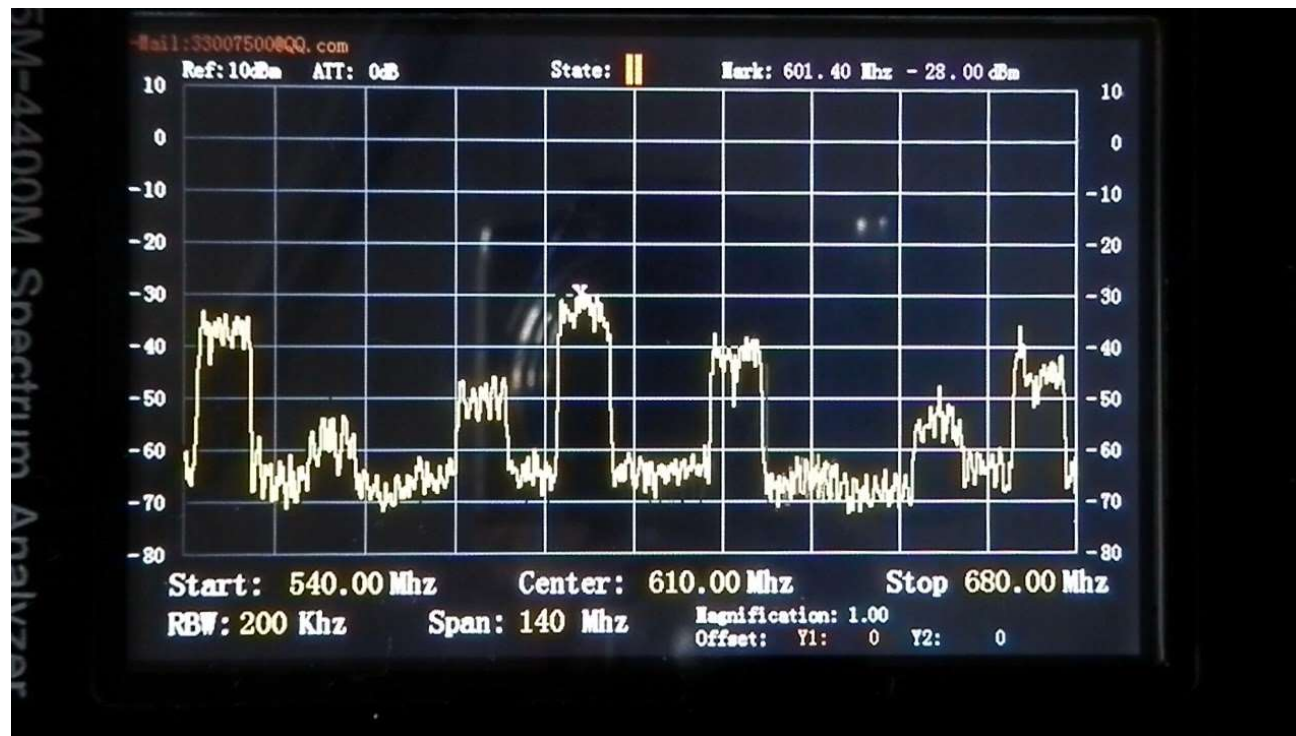
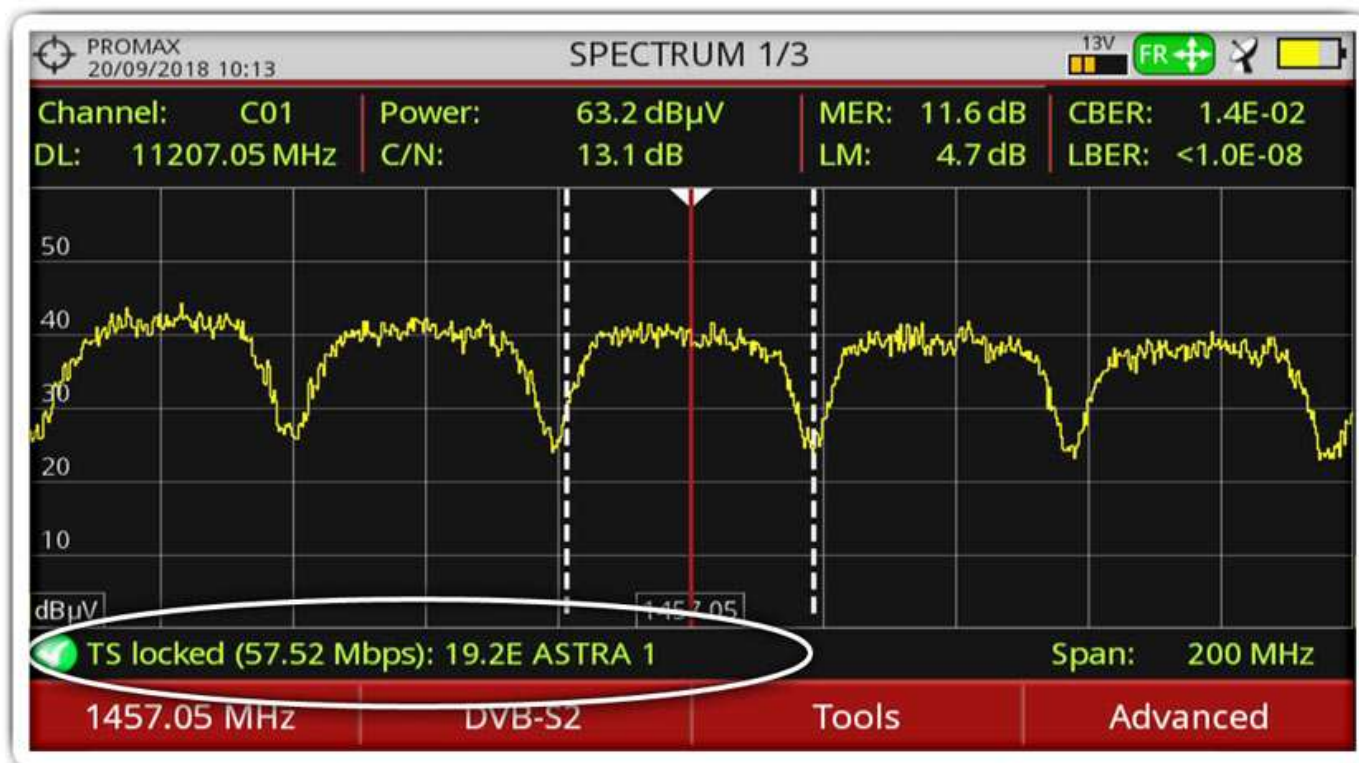


Immagine tratta da: <https://www.youtube.com/watch?v=cFt2mKvD1OM>

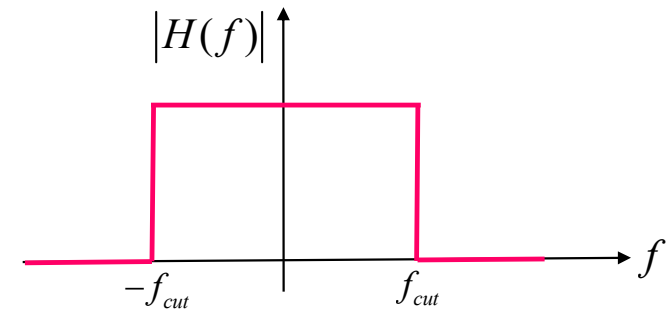
# Esempi pratici di filtri passabanda

- Applicazioni: ad esempio per selezionare un canale nello spettro usato per il broadcasting televisivo DVB-S



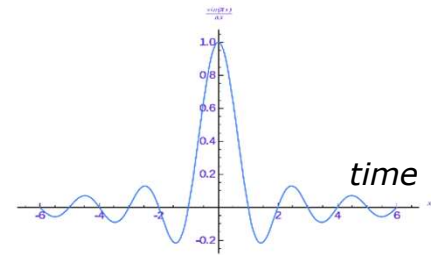
# Filtri “ideali” (passabasso)

- Un filtro “ideale” (ad esempio passabasso) dovrebbe avere un supporto strettamente limitato in frequenza
  - I filtri ideali richiederebbero dunque una risposta all’impulso di durata infinita, essendo a supporto limitato nel dominio delle frequenze
- Abbiamo visto che le condizioni di fisica realizzabilità richiedono che la risposta all’impulso del filtro sia:
  - Reale
  - Causale
- Ma una risposta all’impulso di durata infinita non può essere causale
  - Nel mondo reale i filtri devono dunque essere «approssimati»



# Esempio: filtro passabasso ideale rettangolare in frequenza

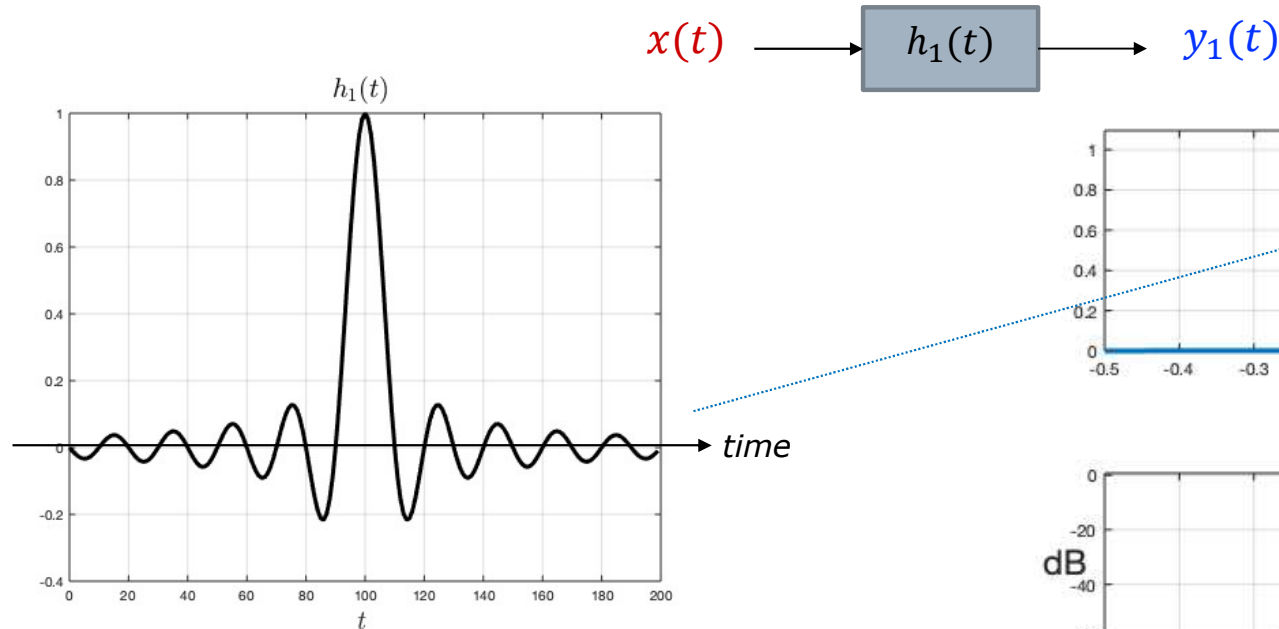
- Consideriamo un filtro passabasso ideale di tipo porta in frequenza
- Avrà una risposta all'impulso di tipo  $\text{sinc}(\cdot)$ 
  - Chiaramente tuttavia questa risposta è non nulla anche per  $t < 0$  e dunque NON è causale
  - Conseguentemente, non può essere realizzata in pratica
- Nelle prossime slides vedremo come si può ottenere un sistema lineare che può approssimare il filtro in questione



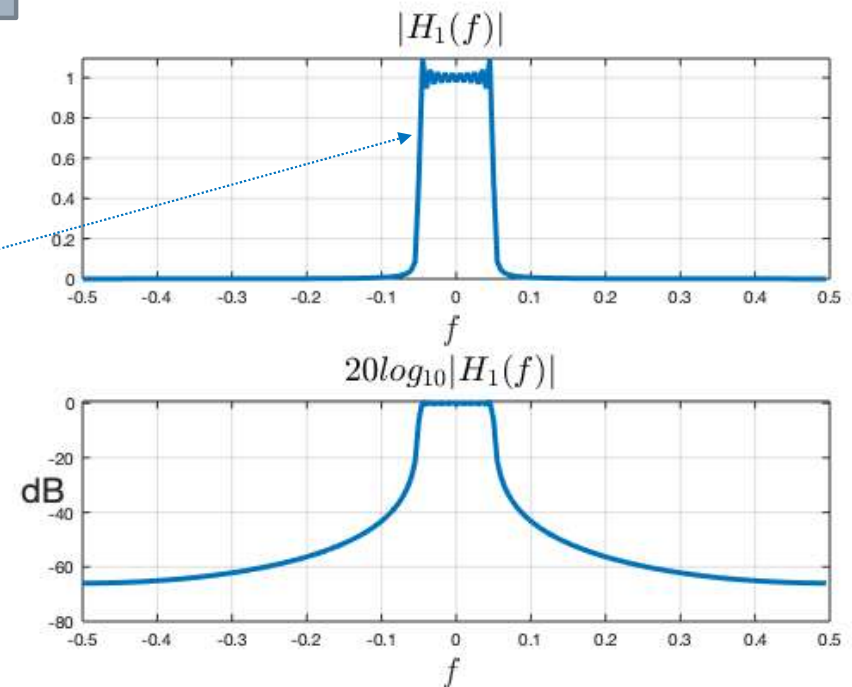


# Implementazione pratica di un Filtro passabasso reale

(I grafici in queste slides sono stati ottenuti tramite simulazioni in Matlab)



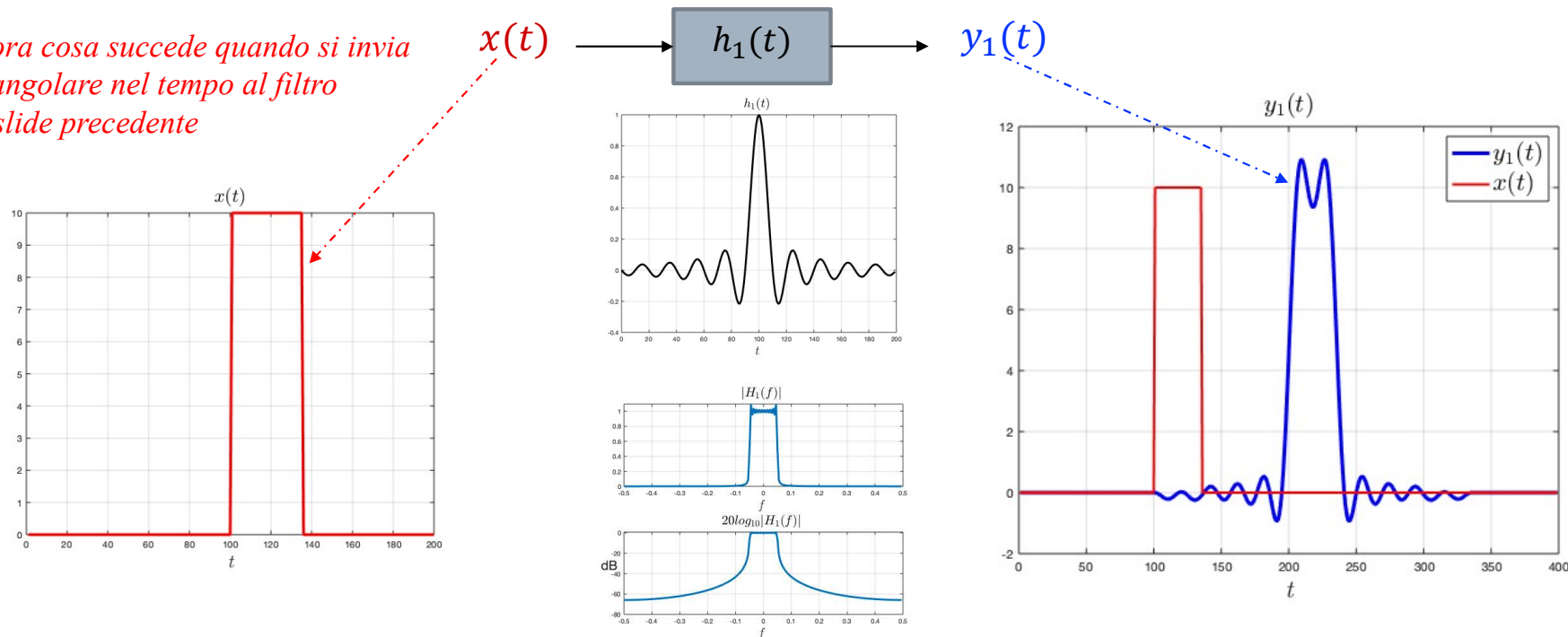
Approssimazione della risposta all'impulso ideale come una funzione *sinc* troncata (durata finita) e ritardata. Questa è ora una risposta all'impulso fisicamente realizzabile.



Modulo della funzione di trasferimento (in lineare e in dB)

# Uscita di un filtro passabasso reale con un segnale porta nel tempo all'ingresso

*Consideriamo ora cosa succede quando si invia un segnale rettangolare nel tempo al filtro descritto nella slide precedente*

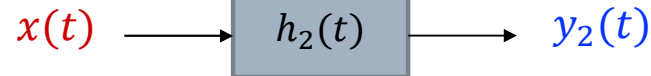


Qualitativamente possiamo osservare che il filtraggio delle componenti spettrali ad alta frequenza fa sì che vengano "attenuate" in  $y_1(t)$  le variazioni "veloci"

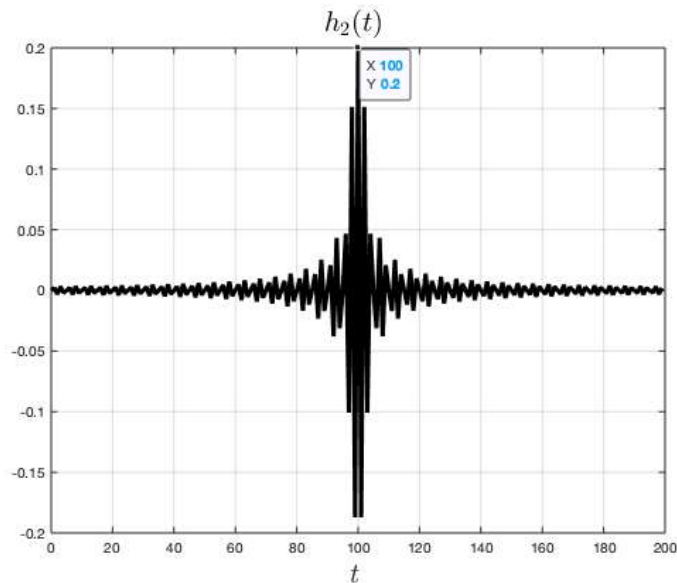
Si noti anche l'effetto della memoria del filtro (l'uscita ha un supporto temporale maggiore dell'ingresso) e del fatto che introduce un ritardo nel tempo

# Filtro passa-alto reale

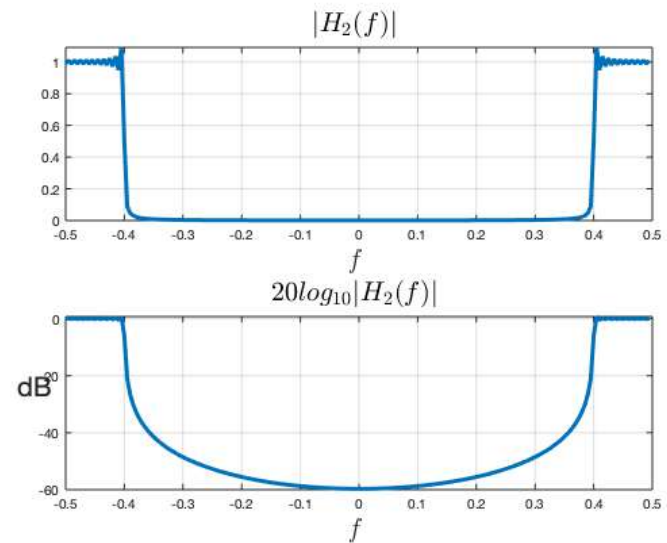
Analogamente è possibile "progettare" una risposta all'impulso fisicamente realizzabile che implementi una buona approssimazione di un filtro passa-alto «quasi-ideale»



$$H_2(f) = 1 - H_{low-pass}(f)$$

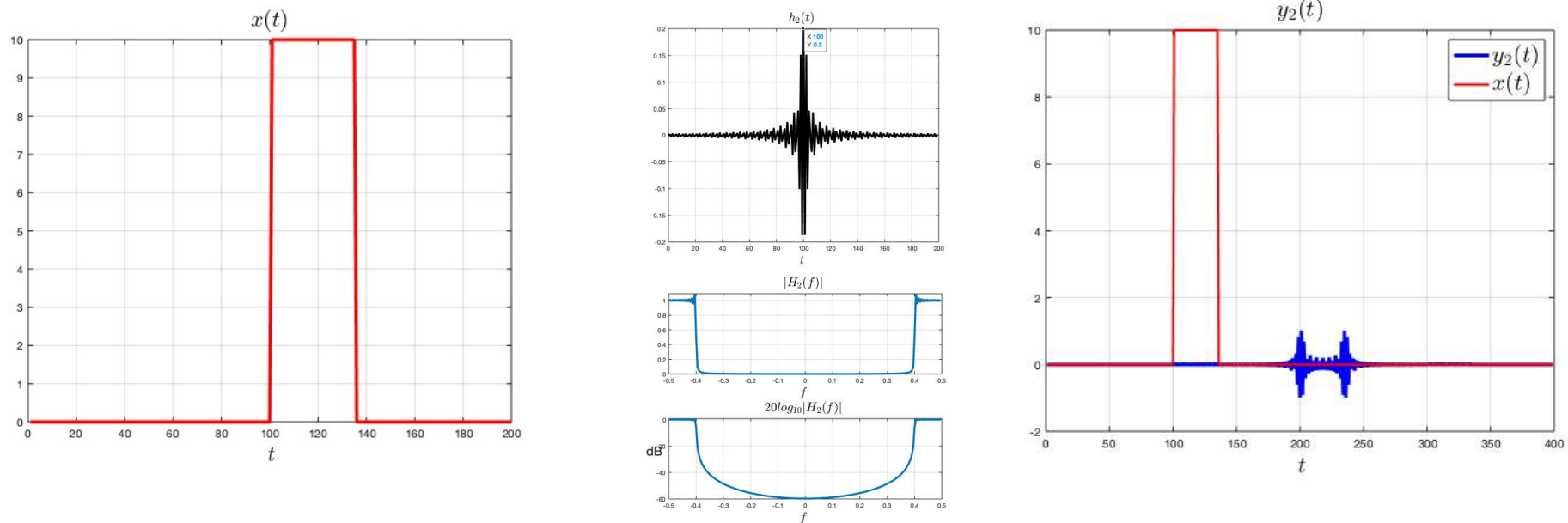
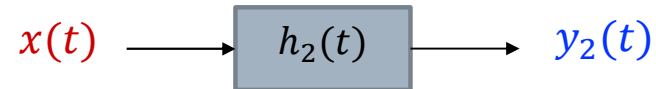


Esempio di una possibile risposta all'impulso di tipo passa-alto (dopo troncamento e ritardo per renderlo causale)



Modulo della funzione di trasferimento

# Filtro passaalto reale

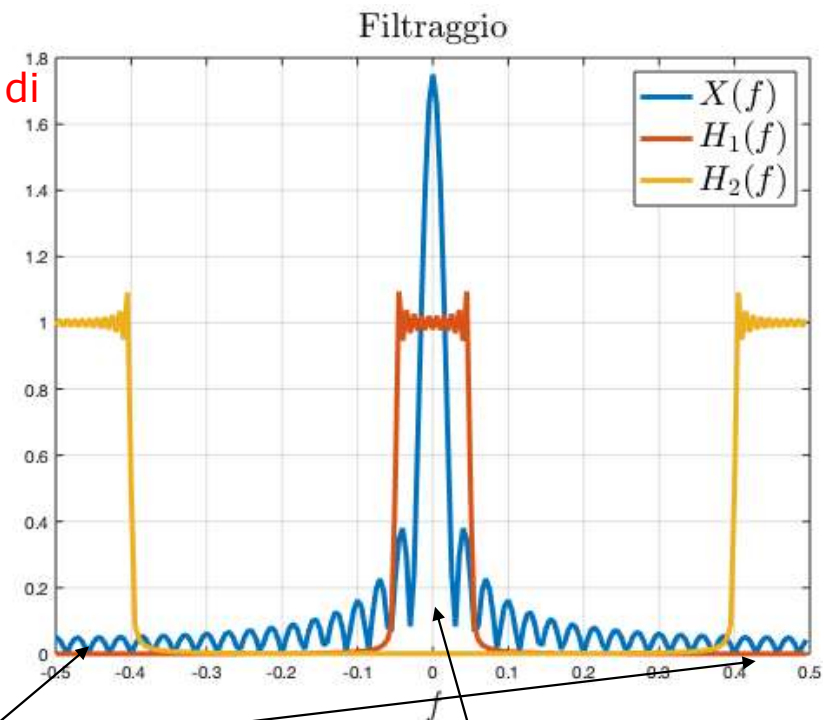
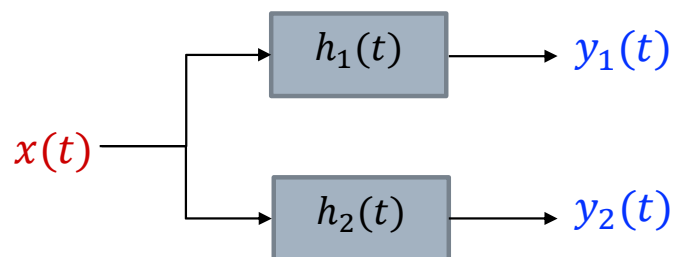


Qualitativamente possiamo osservare che il filtraggio delle componenti spettrali a bassa frequenza fa sì che compaiano in  $y_2(t)$  quasi unicamente le variazioni “veloci” dell’ingresso

Si noti anche l’effetto della memoria del filtro e la ridotta energia del segnale di uscita

# Filtraggio

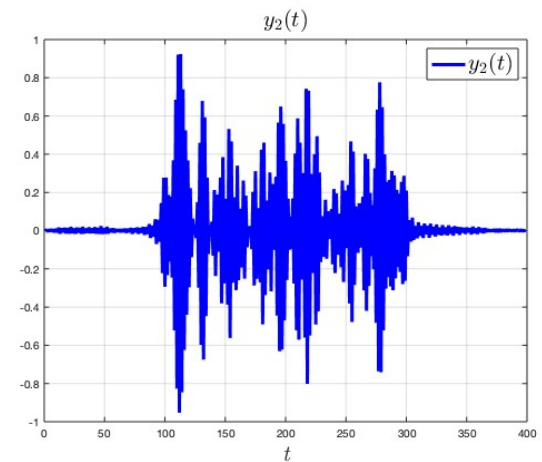
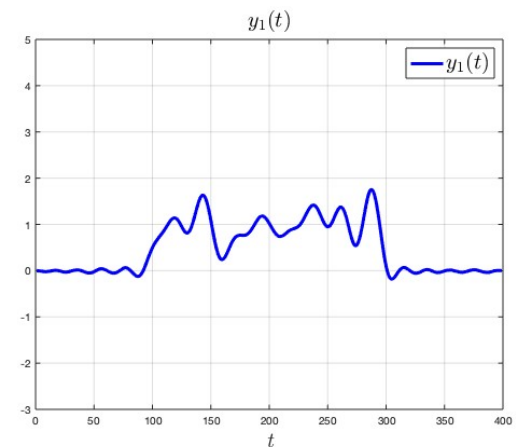
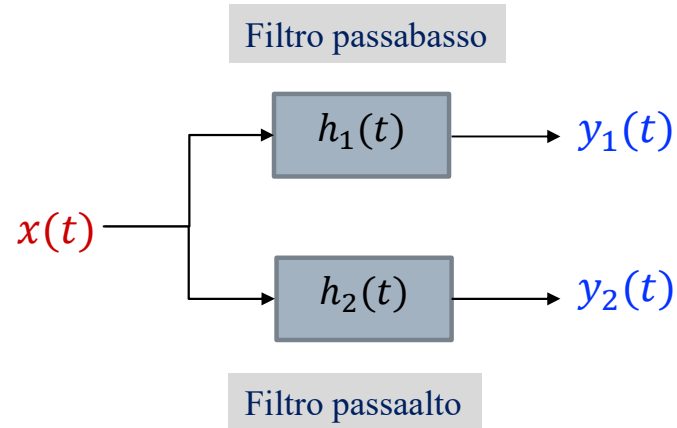
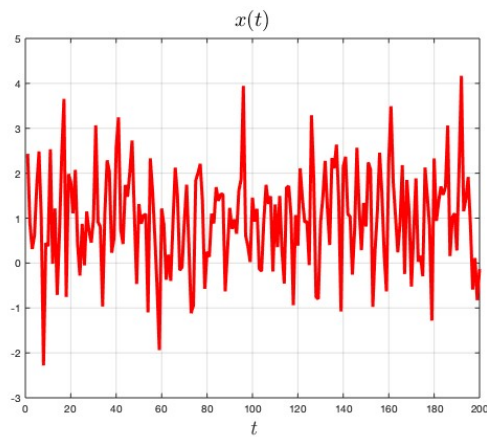
Moduli delle  
trasformate di  
Fourier



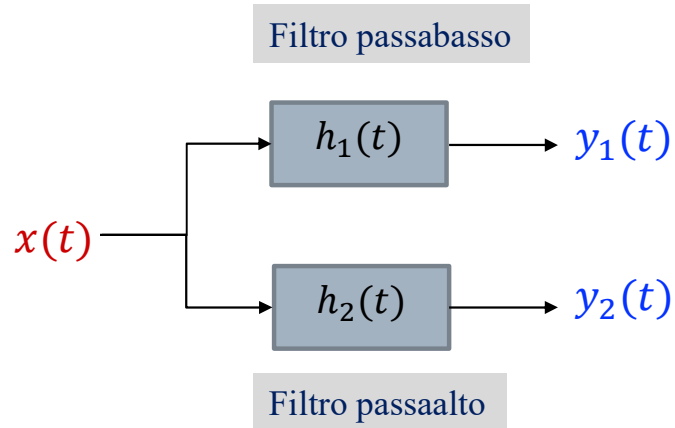
Componenti che «passano» attraverso il filtro passaalto

Componenti che «passano» attraverso il filtro passabasso

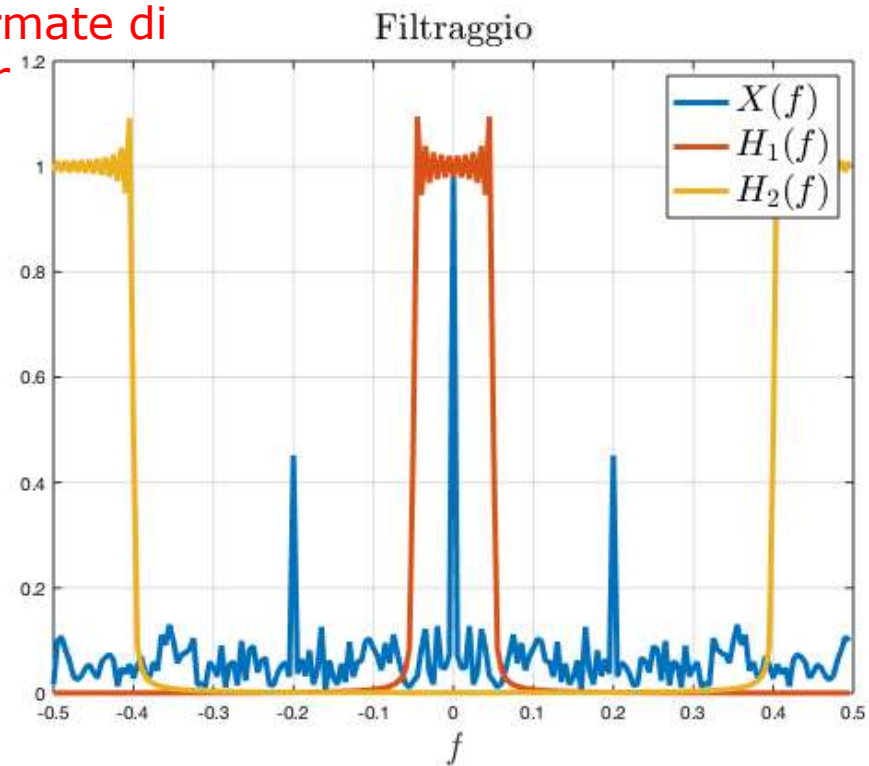
# Filtraggio – segnale generico



# Filtraggio

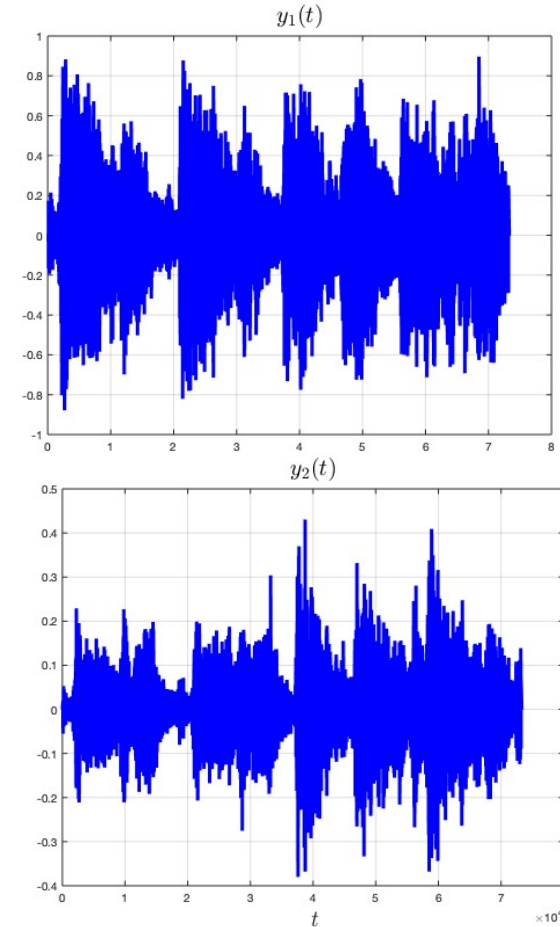
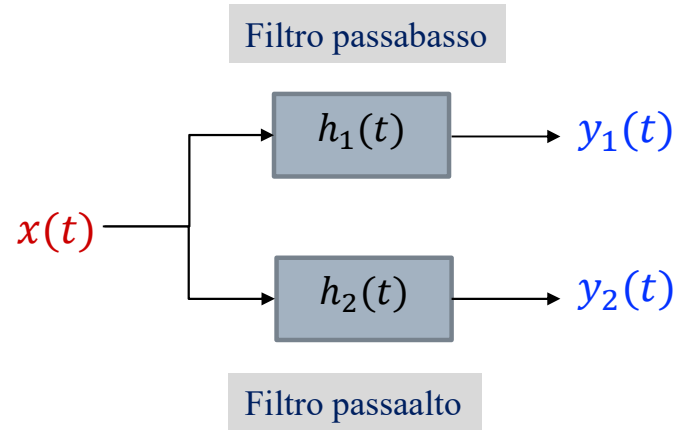
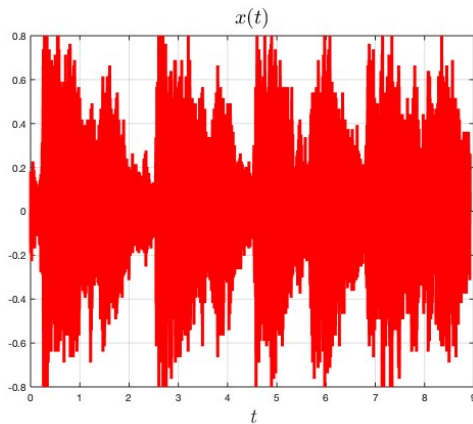


Moduli delle  
trasformate di  
Fourier



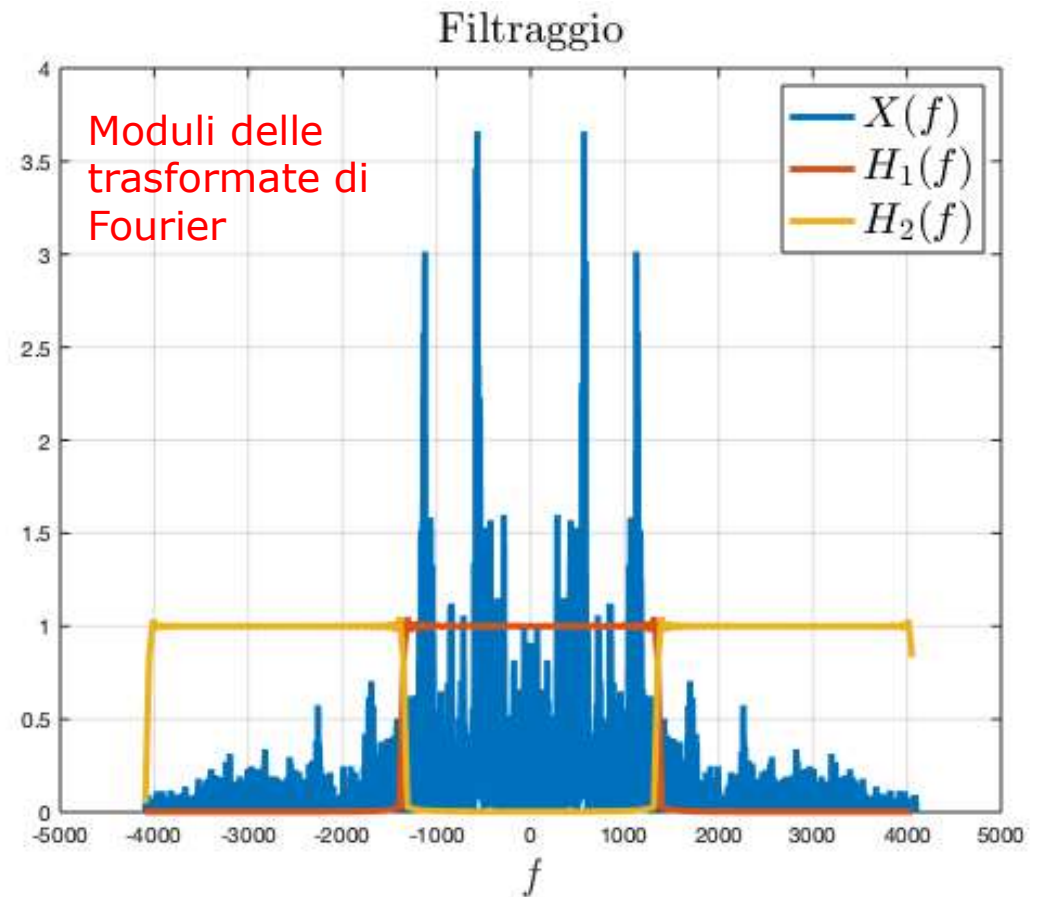
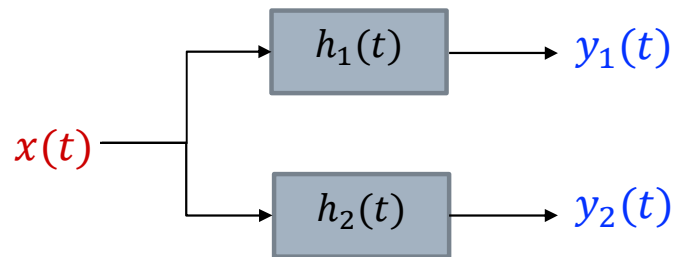
# Filtraggio – segnale audio

(stesso esempio già utilizzato nel capitolo  
sulla Serie di Fourier)





# Filtraggio



# Tutorial in rete

---

- ❑ <https://www.youtube.com/watch?v=46Ep4ecxG2I>
- ❑ [https://www.youtube.com/watch?v=2R7qSYa\\_G8Y](https://www.youtube.com/watch?v=2R7qSYa_G8Y)
- ❑ <https://www.youtube.com/watch?v=0wvIrBx3U4c>
- ❑ <https://www.youtube.com/watch?v=oLVzhSw7hcw>
- ❑ ... etc etc. 😊



# Cenni ai segnali e sistemi multidimensionali

---

## □ Esempi di applicazione

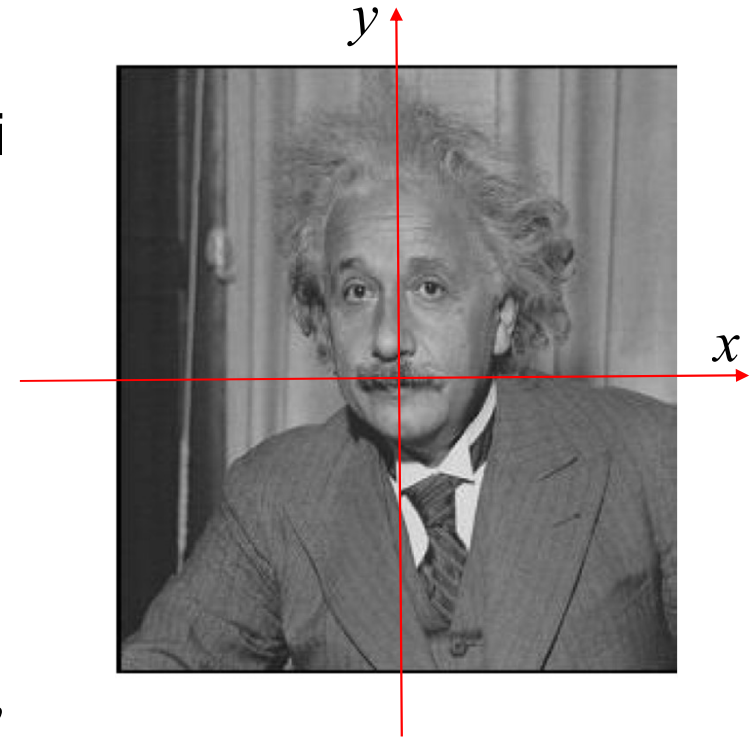
- Immagine in scala di grigi (segnale a due dimensioni  $x$  e  $y$ )
- Immagine a colori (tre segnali RGB, ciascuno a due dimensioni  $x$  e  $y$ )
- Video in scala di grigi (segnale a tre dimensioni  $t$ ,  $x$  e  $y$ )
- Video a colori (tre segnali RGB, ciascuno a tre dimensioni  $t$ ,  $x$  e  $y$ )

# Immagine in scala di grigi

- Descrivibile come una funzione  $f(x,y)$  nelle due dimensioni  $x$  e  $y$  che in ogni posizione è proporzionale alla intensità del grigio in quel punto dell'immagine
- Si può definire una trasformata di Fourier bidimensionale

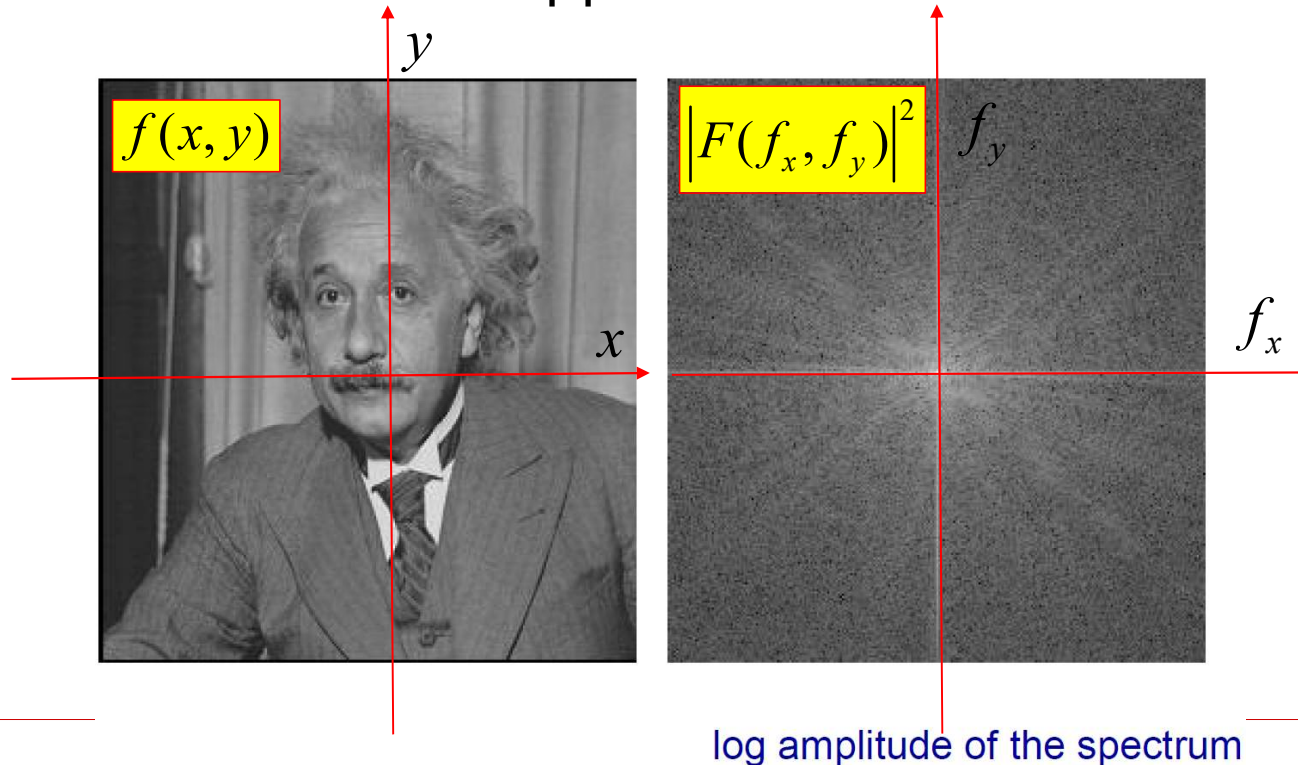
$$F(f_x, f_y) \triangleq \int_{-\infty}^{\infty} \int_{-\infty}^{\infty} f(x, y) e^{-j2\pi f_x x} e^{-j2\pi f_y y} dx dy$$

Le due componenti  $f_x$  e  $f_y$  sono chiamate frequenze spaziali ("spatial frequencies")



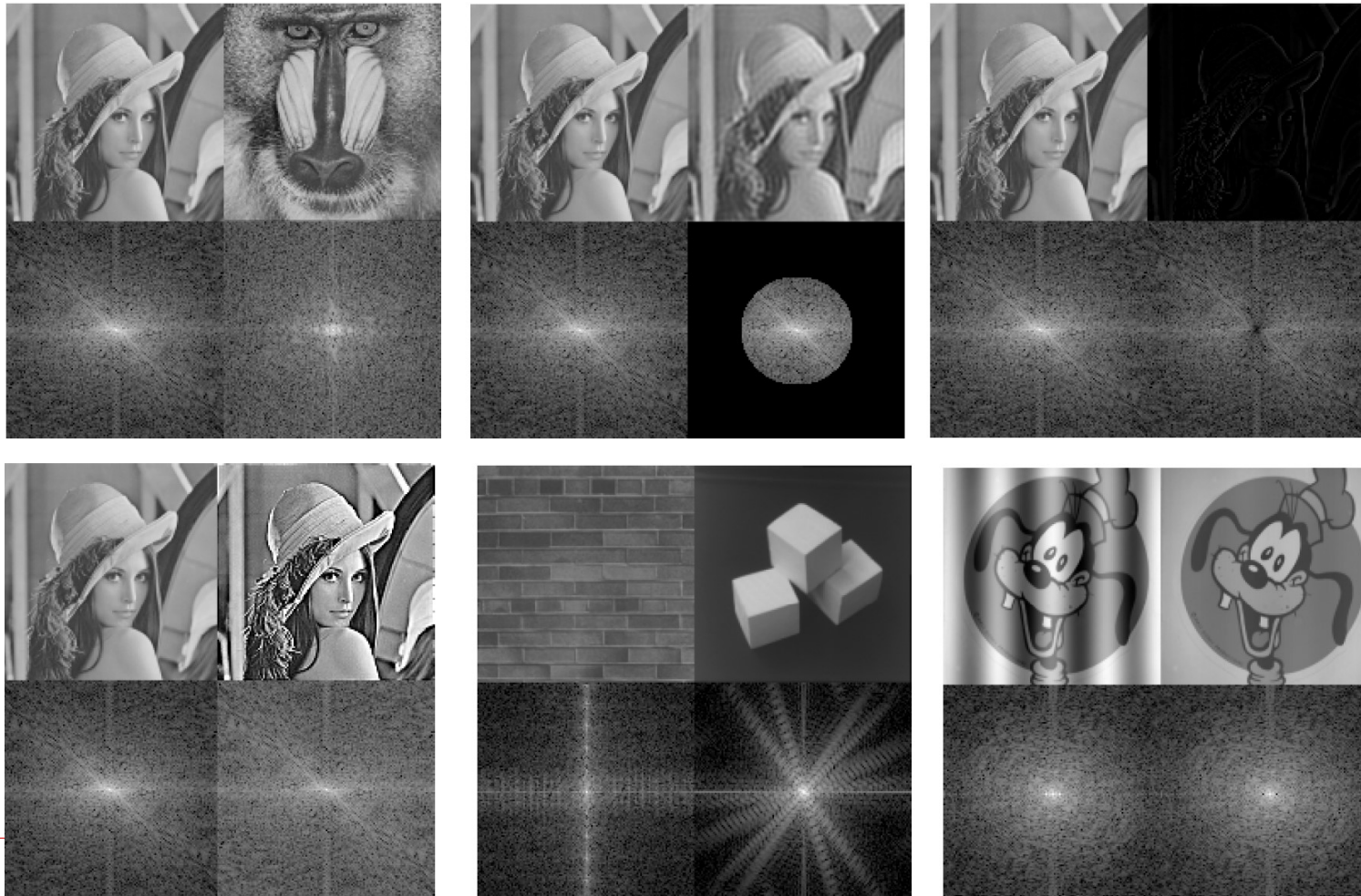
# Trasformata di Fourier bidimensionale

- Nell'ambito del trattamento delle immagini, si usa dunque una rappresentazione spettrale bidimensionale, tramite il modulo della trasformata appena introdotta



# Altri esempi di trasformate di Fourier 2D

Figure tratte da: <https://www.corsi.univr.it/documenti/OccorrenzaIns/matdid/matdid346761.pdf>

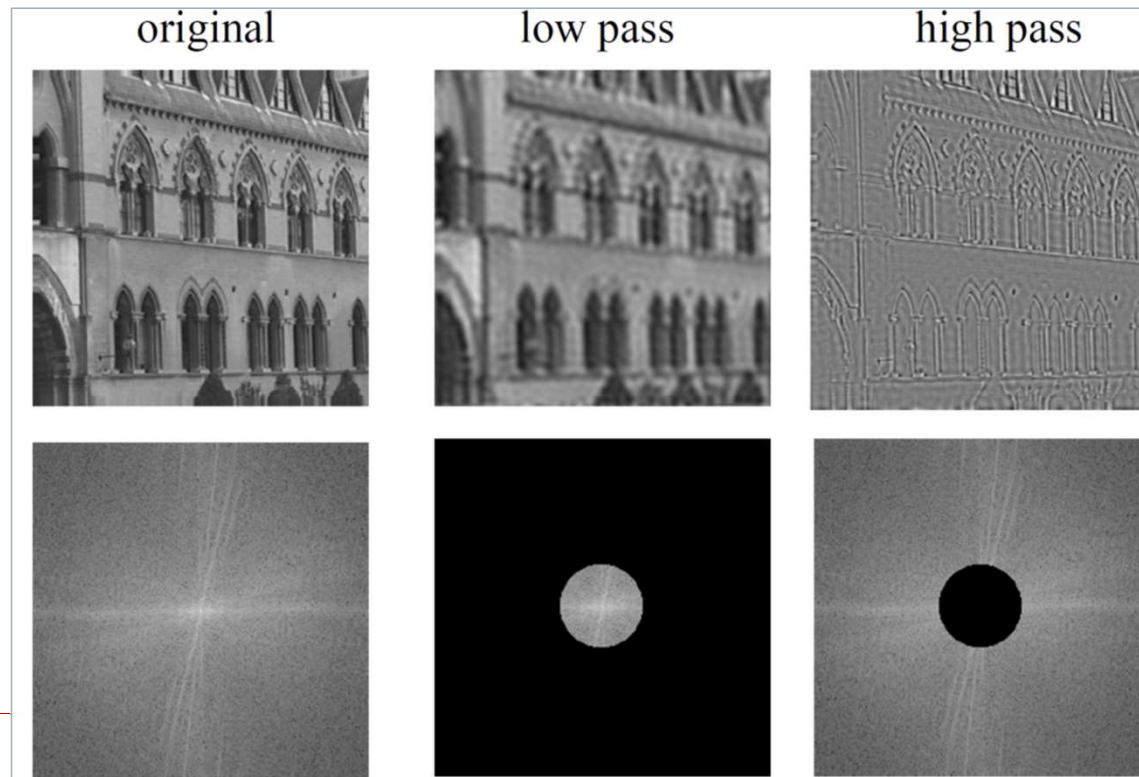




# Immagini e sistemi lineari

Figure tratte da: <https://www.robots.ox.ac.uk/~az/lectures/ia/lect2.pdf>

- Anche in questo ambito, si usano i sistemi lineari per trasformare l'immagine
  - Terminologia: filtraggio spaziale (spatial filtering)

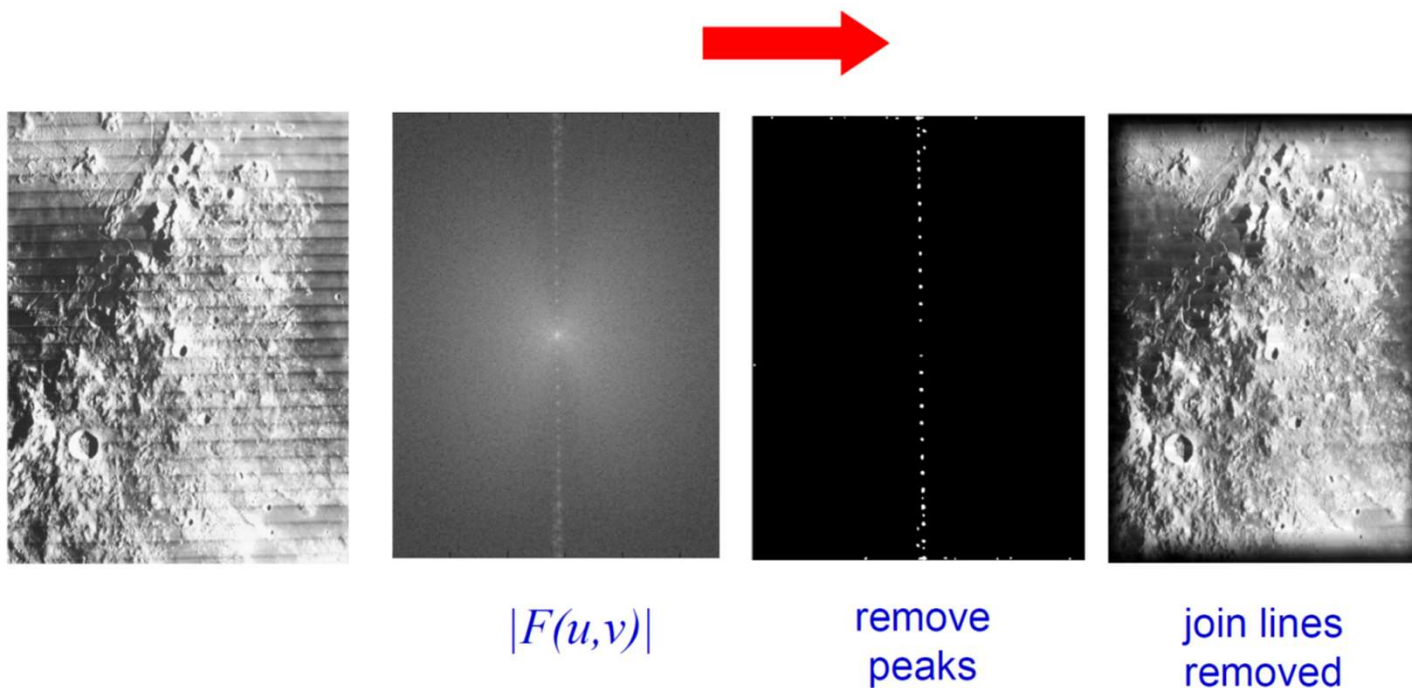


# Immagini e sistemi lineari

Figure tratte da: <https://www.robots.ox.ac.uk/~az/lectures/ia/lect2.pdf>

- Per chi fosse interessato, è disponibile in rete moltissimo materiale su questo argomento, che ha importanti applicazioni nel trattamento delle immagini

Lunar orbital image (1966)

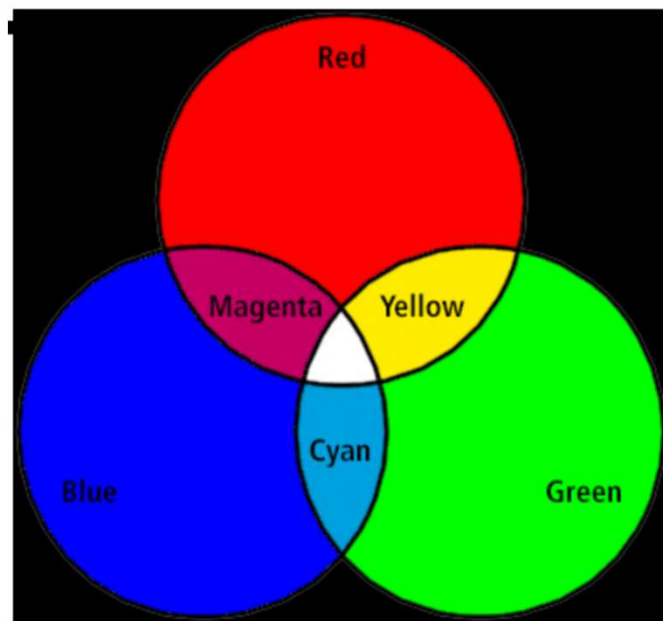




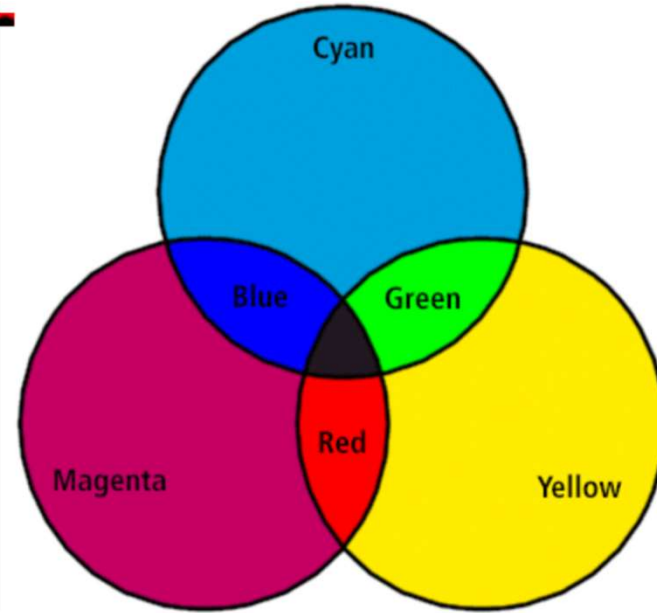
# Immagini a colori

Figure tratte da: [https://eeweb.engineering.nyu.edu/~yao/EL6123\\_s16/Color\\_ContrastEnhancement.pdf](https://eeweb.engineering.nyu.edu/~yao/EL6123_s16/Color_ContrastEnhancement.pdf)

- Rappresentate come una terna di segnali bidimensionali su 3 colori fondamentali (tipicamente RGB: Red, Green, Blue)



Magenta = Red + Blue  
Cyan = Blue + Green  
Yellow = Green + Red



Magenta = White - Green  
Cyan = White - Red  
Yellow = White - Blue

# Immagini a colori

Figure tratte da: [https://eeweb.engineering.nyu.edu/~yao/EL6123\\_s16/Color\\_ContrastEnhancement.pdf](https://eeweb.engineering.nyu.edu/~yao/EL6123_s16/Color_ContrastEnhancement.pdf)



Politecnico  
di Torino  
Department  
of Electronics and  
Telecommunications

Immagine a  
colori

e scomposizione  
sull'intensità di  
ciascuna delle 3  
component RGB



red



Green



Blue

# Video a colori

---

- Nel video a colori si aggiunge un'ulteriore dimensione, cioè la variabile tempo
- Si devono dunque "trattare" 3 segnali RGB, ciascuno del tipo  $f(x,y,t)$